

Magyarországi földrengések évkönyve

Hungarian Earthquake Bulletin

2007

Tóth L., Mónus P., Zsíros T., Bus Z., Kiszely M., Czifra T.

GeoRisk
Földrengéskutató Intézet ◆ Earthquake Research Institute

Magyar Tudományos Akadémia
Geodéziai és Geofizikai Kutatóintézet
Szeizmológiai Főosztály



Budapest

Hungarian Academy of Sciences
Geodetic and Geophysical Research Institute
Seismological Observatory

MAGYARORSZÁGI FÖLDRENGÉSEK ÉVKÖNYVE

HUNGARIAN EARTHQUAKE BULLETIN

2007

TÓTH LÁSZLÓ, MÓNUS PÉTER, ZSÍROS TIBOR,
BUS ZOLTÁN, KISZELY MÁRTA, CZIFRA TIBOR

Hivatkozás

Tóth L., Mónus P., Zsíros T., Bus Z.,
Kiszely M., Czifra T.:
Magyarországi földrengések évkönyve 2007.
GeoRisk - MTA GGKI, Budapest, 2008.
HU ISSN 1589-8326

Bibliographic reference

Tóth, L., Mónus, P., Zsíros, T., Bus Z.,
Kiszely, M., Czifra, T.
Hungarian Earthquake Bulletin, 2007.
GeoRisk - MTA GGKI, Budapest, 2008.
HU ISSN 1219-963X

GEO RISK
MTA GGKI

BUDAPEST 2008

© *GeoRisk*

Ringló u. 101/B, H-1221 Budapest, HUNGARY
www.georisk.hu
info@georisk.hu

MTA GGKI

Meredek u. 18, H-1112 Budapest, HUNGARY
www.seismology.hu
seismo@seismology.hu

Minden jog fenntartva.

Apart from any fair dealing for the purpose of study, research, criticism, or review, as permitted under the Copyright Act, no part may be reproduced by any process without written permission.

Készült a Paksi Atomerőmű Rt. támogatásával.

This work was supported by Paks Nuclear Power Plant Ltd.

HU ISSN 1589-8326 (magyar)

HU ISSN 1219-963X (English)

Felelős kiadó: Dr. Tóth László

Hátsó borító: Szeizmikus zónatérkép
az EUROCODE 8 (MSZ EN 1998-1) Magyar Nemzeti Mellékletéhez

Back cover page: Map of Seismic Zones
for EUROCODE 8 (MSZ EN 1998-1) Hungarian National Annex

TARTALOMJEGYZÉK

BEVEZETÉS	5
1. ÖSSZEFOGLALÁS	7
2. A MAGYARORSzáGI FÖLDRENGÉS-MEGFIGYELŐ HÁLÓZAT.....	9
Szélessávú állomások.....	9
Rövidperiódusú állomások.....	9
Adatközpont	11
Virtuális szeizmológiai hálózat.....	11
3. ESEMÉNYLISTA ÉS FÖLDRENGÉS FÉSZEKPARAMÉTEREK.....	19
A földrengés fészekparaméterek meghatározása	19
Sebességmodell	19
Eseménylista	21
Fészekparaméterek és fázisadatok	27
4. JELENTŐS FÖLDRENGÉSEK 2007-BEN	45
2007. március 3. – Bő	47
2007. szeptember 15. – Homokszentgyörgy	51
2007. november 18. – Hollókő.....	55
HIVATKOZÁSOK	59
A MELLÉKLET: <i>Európai Makroszeizmikus Skála (EMS)</i>	61
B MELLÉKLET: <i>A világ jelentős földrengései 2007-ben</i>	63

CONTENTS

INTRODUCTION	6
1. SUMMARY.....	8
2. SEISMOGRAPH STATIONS IN HUNGARY	10
Broadband stations.....	10
Short period stations	10
Data centre	12
Virtual seismic network	12
3. LIST OF ORIGINS AND HYPOCENTER PARAMETERS	20
Method for hypocenter parameter determination	20
Crustal velocity model.....	20
List of events.....	21
Phase data	28
4. SIGNIFICANT EARTHQUAKES IN 2007	45
3 March 2007 – Bő	47
15 September 2007 – Homokszentgyörgy	51
18 November 2007 – Hollókő	55
REFERENCES.....	60
APPENDIX A: <i>European Macroseismic Scale (EMS)</i>	62
APPENDIX B: <i>Significant Earthquakes of the World, 2007</i>	64

BEVEZETÉS

A Pannon-medencében a földrengés aktivitás a lemezperemi területekhez képest mérsékelt, a rendések epicentrumainak eloszlása pedig első pillantásra rendszertelennek látszik. Nehéz eldönten, hogy a földrengések izolált területeken, vagy szeizmikusan aktív vonalak mentén keletkeznek. Mindenesetre felismerhető néhány terület, ahol viszonylag gyakran fordult elő a múltban földrengés. Ilyenek pl. Eger és környéke, ahol 70 év alatt legalább 16 földrengés és több mint 50 nagyobb utórengés történt. Komárom és Mór környékén, Jászberény, Kecskemét és Dunaharaszti közelében szintén jelentős volt az aktivitás egy-egy bizonyos időszakban. Az alacsony szeizmicitás nem feltétlenül jelenti a földrengések méretének csekélyiségett: komoly épületkárokat okozó földrengésekkel van szó, néhány esetben talajfolyósodást is okozó gyorsulásokkal (pl. 1763 Komárom, M 6.2; 1911 Kecskemét, M 5.6), esetleg a felszínen is megjelenő töréssel (pl. 1834 Érmellék, M 6.2). Ezek a példák azt mutatják, hogy 6.0-6.5 magnitúdójú rengések lehetségesek, de nem gyakoriak a Pannon-medencében (Tóth et al., 2002a).

A földtudományi kutatás fontos eleme a szeizmicitás vizsgálata, annak megismerése, hogy milyen gyakorisággal, hol és mekkora földrengések keletkeznek, továbbá melyek azok a szeizmotektonikai folyamatok, melyek a földrengésetek létrehozzák.

Az általános ismeretszerzésen túlmenően a földrengés elleni védekezéshez is fontos segítséget nyújt a szeizmicitás pontos ismerete. Egy terület földrengés kockázatát csak komplex szeizmológiai, geofizikai, geológiai ismeretek alapján lehet meghatározni. A legfontosabb információ, mely mennyiségileg meghatározza a földrengéskockázatot, a terület földrengés története, illetve a jelenkorú rengések ismerete. Ehhez nyújt kardinális fontosságú segítséget a földrengés monitorozás, a földrengések megfigyelése, mérése és paramétereinek meghatározása.

Magyarországon a földrengésmérő állomások száma és minősége 1995-ben érte el azt a szintet, hogy a lakosság által érzékelt valamennyi rengést a hálózat nagy valószínűsséggel detektálja. Ez nagyrészt annak a szeizmikus megfigyelő hálózatnak köszönhető, melyet a Nemzetközi Atomenergia Ügynökség javaslatára a Paksi Atomerőmű Rt. létesített az atomerőmű telephely tágabb környezetében.

Jelen kiadványunk célja és tartalma pontosan az, amit a címe is jelez: évkönyv, melyben megtalálható minden olyan adat és ismeret, melyet az év során a magyarországi földrengésekkel kapcsolatban összegyűjtöttünk. A célterület a 45.5-49.0°É szélesség és 16.0-23.0°K hosszúság által határolt földrajzi tartomány. A teljesség kedvéért azonban a világ jelentős földrengéseinek listája is megtalálható a mellékletben. Reméljük, hogy hasznát látják munkánknak mindenek, akik földtudományi kutatásainak felhasználói a szeizmicitás adatoknak, de azok is, akik csupán egy-egy földrengéssel kapcsolatos kérdésükre keresnek választ kiadványunkban.

INTRODUCTION

Seismicity in the Pannonian basin is relatively low comparing to the peripherals and the distribution of earthquake epicenters shows a rather scattered pattern at the first glance. It is particularly difficult to decide whether the epicenters occur at isolated places or along elongated zones however, at several single places earthquakes occur repeatedly. For example, near to Eger (47.9N; 20.4E) at least sixteen earthquakes with more than fifty greater aftershocks occurred over a time interval of some 70 years. Komárom and Mór area (47.4-47.8N; 18.2E), Jászberény (47.5N; 20.0E), Kecskemét (46.9N; 19.7E) and Dunaharaszi (47.4; 19.0E) also produced significant activity over a certain but limited period of time. Moderate seismicity does not necessarily mean moderate size of earthquakes: reports of major earthquakes often refer to heavy building damage, liquefaction (e.g. 1763 Komárom earthquake, M 6.2; 1911 Kecskemét earthquake, M 5.6) and sometimes the possibility of surface fault rupture (e.g. 1834 Érmellék earthquake, M 6.2). These observations indicate that magnitude 6.0-6.5 earthquakes are possible but not frequent in the Pannonian basin (Tóth et al., 2002b).

The study of the recent seismicity is an important element of seismotectonic research. Earthquakes represent the sudden release of slowly accumulated strain energy and hence provide direct evidence of active tectonic processes. However, low and moderate seismicity at intraplate areas generally precludes reliable statistical correlation between epicenters and geological features.

Moreover, as one of the chief contributor to seismic hazard at a given area, detailed knowledge of seismicity also plays an important role in earthquake risk reduction. To be useful, accurately located earthquakes are required. While good information about larger historical earthquakes exists for about the past few hundred years, these are not well enough located. Only modern seismic monitoring networks, capable of locating small magnitude local earthquakes provide the necessary information to close this knowledge gap. The developing database of well-located earthquakes can be used, in one hand, to resolve the tectonic framework and required on the other hand to refine our understanding of the level of seismic risk.

1995 was a milestone in the history of Hungarian seismological observations. The Paks Nuclear Power Plant Ltd. installed a network of high quality digital seismographs, following the recommendations by the International Atomic Energy Agency (IAEA). For the first time, this network made it possible to detect and locate such small magnitude local seismic events that it is very unlikely so as to felt events go undetected in most parts of the country.

The present Earthquake Bulletin is a united annual summary report of all Hungarian earthquake monitoring projects. The information in the Bulletin is based on all available earthquake related data provided by different organizations. The geographic region covered is bounded by latitudes 45.5-49.0N and longitudes 16.0-23.0E.

1.

ÖSSZEFOGLALÁS

A 2007. év szeizmikus szempontból csendes időszaknak tekinthető. Az év folyamán 91 szeizmikus eseményről szereztünk tudomást a 45.5-49.0N szélességi és 16.0-23.0E hosszúsági koordináták által határolt területen, amelyek közül 58 volt természetes eredetű földrengés, 33 robbantás. Az események mérete a $0.9 \leq M_L \leq 3.5$ lokális magnitúdó tartományba esett.

Az év folyamán 3 olyan földrengés volt, melyet a lakosság is érzett. A nyugat-, dél- és észak-Magyarországon keletkezett három rengés mindegyike ismert forrászónához köthető.

A legnagyobb földrengés intenzitás, melyet az év folyamán Magyarország területéről jelentettek 5 EMS fokozat volt. Ez jelentéktelen épületkárokat (hajszálrepédések a falakban) okozott néhány hagyományos, gyengébb minőségű épületben.

Időrendben az első érezhető, és egyben az év legnagyobb szeizmikus eseménye március 3-án pattant ki a Vas – Veszprém – Győr-Moson-Sopron megyék hármas határa közelében. A $3.0 M_L$ magnitúdójú rengés kb. 1000 km^2 területen volt érezhető, legnagyobb intenzitása 5 EMS volt.

Szeptember 15-én 2.7 M_L magnitúdójú földrengés keltett riadalmat Somogy-megyében, a Dráva közelében. A viszonylag kis területen érezhető rengés legnagyobb intenzitása 4-5 EMS volt.

Szintén kis területen volt érezhető november 18-án Nógrád megyében Hollókő környékén egy $3.0 M_L$ magnitúdójú földrengés, melynek legnagyobb becsült intenzitása 4 EMS volt.

1.

SUMMARY

2007 was a quiet year for Hungarian seismicity. Out of the 91 seismic events ($0.9 \leq M_L \leq 3.5$) located within the area bounded by latitudes 45.5-49.0N and longitudes 16.0-23.0E 58 were identified as natural earthquakes, 33 were known quarry blasts.

Three earthquakes were reported as felt. One of those burst in W of Hungary, one in S of Hungary and one in northern part of the country; all of them can be connected to known source zones.

The highest magnitude assigned to a shock was $3.5 M_L$ while the highest intensity reported during the year was 5 EMS causing minor damage (small cracks in walls) in some old poorer of quality buildings.

Reviewing the more notable events of the year in chronological order, the first felt earthquake was reported from the border region of Vas – Veszprém – Győr-Moson-Sopron counties on March 3rd. The $3.0 M_L$ earthquake was felt in an area of about 1000 km^2 in W of Hungary. The highest reported intensity were about 5 EMS.

On September 15th, a $2.7 M_L$ magnitude earthquake alarmed people in Somogy County near the Drava River and produced reports of 4-5 EMS.

A $3.0 M_L$ magnitude event was felt in a relatively small area and reported 4 EMS from Nógrád county (Hollókő).

2.

A MAGYARORSZÁGI FÖLDRENGÉS-MEGFIGYELŐ HÁLÓZAT

2007-ben 15 szeizmográf állomást működtetett Magyarországon az MTA Geodéziai és Geofizikai Kutatóintézet és a GeoRisk Földrengéskutató Intézet Kft. A két szervezet által kötött megállapodás értelmében az összes mért adatot korlátozás nélkül megosztják egymással. Az adatok együttes feldolgozásának köszönhetően a földrengések paramétereit jóval pontosabban, gyorsabban, megbízhatóbban határozhatók meg (2.1. Táblázat és 2.1. ábra).

Szélessávú állomások

Az év folyamán 6 szélessávú szeizmológiai állomás működött (BEHE, BUD, PKSM, PSZ, SOP, TRPA), melyek mindegyikén az érzékelő egy 3 komponenses szélessávú Streckeisen STS-2 szeizmométer. Az érzékelő jele a PKSM állomáson egy Quanterra Q380 berendezésen keresztül, a többi helyen pedig EarthData PS-6-24 digitalizáló egységen át jut a SeisComp szoftverrel felszerelt adatgyűjtő számítógépre. Mindegyik állomás internet összeköttetéssel rendelkezik, így az adatok közel valós időben, egy erre a célra kifejlesztett protokol (SeedLink) felhasználásával jutnak el a budapesti adatközpontba, ahol a feldolgozás és archiválás történik. Az adatközpontban az adatok átlagos késése a valós időhöz képest 10 másodperc körüli. A helyszínen tárolt adatok bizonyos idő elteltével törlődnek.

Rövidperiódusú állomások

A 9 rövidperiódusú állomás mindegyikén Lennartz LE-3D 1 s sajátperiódusú 3 komponenses szeizmométer és Lennartz MARS88 digitalizáló és adatgyűjtő működik, folyamatos regisztrálással.

Öt rövidperiódusú állomáson (PKS2, PKS6, PKS7, PKS9, PKSN) az adatok átmeneti tárolása a helyszínen, magneto-optikai lemezeken történik. A lemezek havi cseréjével az adatok legalább két nap, legfeljebb egy hónap késéssel kerülnek az adatközpontba.

Négy állomás (PENC, PKSG, PKST, RHK3) működése eltér a többi rövidperiódusú állomásétől. Az érzékelő és digitalizáló ugyanaz, de az adatok a helyszínen működő SeisComp rendszerű számítógépbe jutnak, ahol annak merevlemezén tárolódnak, és az Interneten keresztül eljutnak a budapesti adatközpontba, hasonlóan a szélessávú állomásokhoz. Azonban itt az alkalmazott konfiguráció és a működés részben eltér a szélessávú állomásokétől, ebből adódóan az adatok késése valamivel nagyobb, 10-30 perces. A helyszínen tárolt adatok bizonyos idő elteltével itt is automatikusan törlődnek (2.2. ábra).

Az RHK3 állomásról az adatok telefonos kapcsolat segítségével jutnak el az adatközpontba. A telefonos adatgyűjtés ezen állomásról félóránként történik.

2.

SEISMOGRAPH STATIONS IN HUNGARY

In 2007, there were 15 seismograph stations in Hungary operated by Geodetic and Geophysical Research Institute, Hungarian Academy of Sciences and GeoRisk Earthquake Research Institute Ltd. Based on an agreement, the two institutions shared all data recorded in all seismic stations without limitations and operated a common data centre (Table 2.1 and Fig. 2.1).

Broadband stations

Six broadband stations (BEHE, BUD, PKSM, PSZ, SOP, TRPA) were running during the year. All of these stations have Streckeisen STS-2 very broadband seismometers as sensors. Each station is equipped with EarthData PS-6-24 digitizer except PKSM where a Quanterra Q380 unit serves as a digitizer. Linux PC's with SeisComP software have been used as data acquisition systems. All stations are accessible via Internet in support of near real time data transfer. The average data latency at these stations is typically less than 10 s. SeedLink protocol is used for data collection and all continuous data is archived in the data centre.

Short period stations

Each of the nine short period stations consist of a three component short period seismometer, a digital recorder and time signal receiver. The seismometers used are the LE-3D three directional compact size high sensitivity 1 Hz geophones. The digital acquisition system is the MARS88 recorder. Continuous data is recorded at each short period station.

In case of five stations (PKS2, PKS6, PKS7, PKS9, PKSN) the data is recorded and temporarily stored on-site on rewritable magneto-optical disks, which are collected and transferred to the data center on a monthly basis.

The configuration at four stations (PENC, PKSG, PKST, RHK3) is somewhat different from the rest of the short period stations. Having the same sensor and digitizer, continuous data is recorded on a SeisComP PC connected to the MARS88 data logger. The stations have near real-time data access via Internet using the SeedLink protocol. Data latency is between 10 and 30 minutes due to the operation schedule of the data converter.

Station RHK3 is accessible via telephone modem; continuous data is routinely collected on ‘half an hour’ basis.

Adatközpont (www.foldrenges.hu)

Az összes mérőállomáson regisztrált adatot a budapesti adatközpontban gyűjtjük és dolgozzuk fel. Az adatközpont nem csak gyűjti a szeizmológiai adatokat, de több formában szolgáltatja is azokat, elsősorban elektronikusan az Interneten keresztül.

Minden állomás digitális adataiból napi szeizmogramok készülnek kép formátumban. A képi szeizmogramok egyrészt az érdeklődők számára készülnek, másrészt a működés ellenőrzését szolgálják. A mérőállomással fennálló adatátviteli módtól függően ezek a szeizmogramok lehetnek közel valós idejűek, vagy a direkt kommunikációval nem rendelkező állomások esetében több napos késéssel készülök.

Az események fázisainak körültekintő manuális kimérése alapján készül havonta a fázisadatokat (kimérési adatokat) tartalmazó jelentés. E jelentéseket elküldjük a szomszédos országok szeizmológiai intézményeinek, valamint a nemzetközi adatközpontoknak.

A fázisadatok felhasználásával – a saját adatokat kiegészítve a szomszédos országok szeizmológiai intézményeinek hasonló adataival – havonta eseménylista készül (Havi Jelentés), mely a helyi és regionális földrengések hipocentrum adatait tartalmazza.

Kétoldalú megállapodások alapján néhány szomszédos országgal, illetve nemzetközi adatközpontokkal (GEOFON, ORFEUS) zajlik valós idejű adatcsere. A valós idejű hullámforma adatok a budapesti adatközpont SeedLink szerverén keresztül érhetők el. Mód van azonban – bizonyos korlátokkal – múltbeli hullámforma adatok kiszolgálására is az adatközpontban működtetett AutoDRM rendszer segítségével (autodrm@seismology.hu).

A mérési adatok, szeizmogramok, a kiértékelés eredményei nagyrészt nyilvánosan elérhetők az interneten a www.foldrenges.hu oldalon.

Átlagos zaj- (talajnyugtalanság) viszonyokat feltételezve a magyarországi szeizmológiai hálózat észlelési képessége $ML=1.5-2.0$ magnitúdó körül van (2.3. ábra). Ennek számítása azon feltételezésen alapul, hogy az eseményt legalább négy mérőállomás érzékeli, mely a helymeghatározáshoz szükséges minimális állomásszám. Az ország középső részén kissé alacsonyabb, a határok környékén kissé magasabb ez az érték. Ez azt jelenti, hogy az ÉK-i területeket kivéve, a lakosság által érzékelt valamennyi rengést a hálózat nagy valószínűséggel detektálja.

Virtuális szeizmológiai hálózat (HUNRENG)

A kommunikáció fejlődése, a valós idejű adatátviteli és az azonos adatátviteli protokoll (SeedLink) Európa-szerte elterjedt használata lehetővé tette, hogy külföldi állomások adatait is fogadjuk közel valós időben ugyanúgy, mint a saját állomásainkét. A külföldi állomások mérési adatainak felhasználásával a földrengések paramétereit még pontosabban, megbízhatóbban számíthatók ki. Ezen kívül a nagyszámú állomás adatahoz való valós idejű hozzáférés lehetővé tette *automatikus földrengésjelző rendszerünk* elindítását. Ez a rendszer automatikusan képes felismerni a földrengéseket, és azok paramétereit néhány percen belül ki is számítja. A térképen és listán automatikusan megjelenített földrengés információ elsősorban gyors tájékoztatásul szolgál (2.4. ábra és 2.2. Táblázat).

Data Centre (www.foldrenges.hu)

All recorded data is transmitted to and processed at the *Data Centre* in Budapest. The data that are collected by the *Data Centre* are published in a variety of formats and publications are available electronically via the Internet.

Using digitally recorded data, analogue “live seismograms” are calculated for each station. The main purposes of the “live seismograms” are feeding public interests in one hand, and rapid visualization of the operational status and quality check of the stations on the other. The delay of the “live seismograms” varies from near real time to several days depending on the communication category of the station.

A careful manual offline analysis is used for event identification and picking the phases on each recorded seismogram. Seismogram readings (phase data) are disseminated by email to partner institutions and international data centers.

Merging the phase data of the Hungarian network and the same kind of available data sets from neighbor countries, preliminary event lists are calculated on monthly schedule. Based on technical and operational statistics of the stations, list of local and regional seismic events and their hypocenter information, *Monthly Reports* are compiled.

Real time data from broadband stations can be accessed through a SeedLink server operated at the data centre. Real time data are provided to international data centers (ORFEUS, GEOFON) and some other partner institutions. Waveform data is also available through an AutoDRM service (autodrm@seismology.hu).

The estimated detection capabilities of the present network with average noise conditions, supposing that at least four stations is needed for origin determination, is typically around 1.5-2.0 M_L, somewhat lower in the middle of the country and a little higher towards the border regions. (See Fig. 2.3) This means that in most parts of the country, not including the NE territory, it is very unlikely that felt events go undetected.

Virtual network (HUNRENG)

Development in communication technology and standardized communication protocols, software packages made available to access near real time data of stations beyond the national network. SeedLink and SeisComP developed at GEOFON became a kind of standard all over Europe.

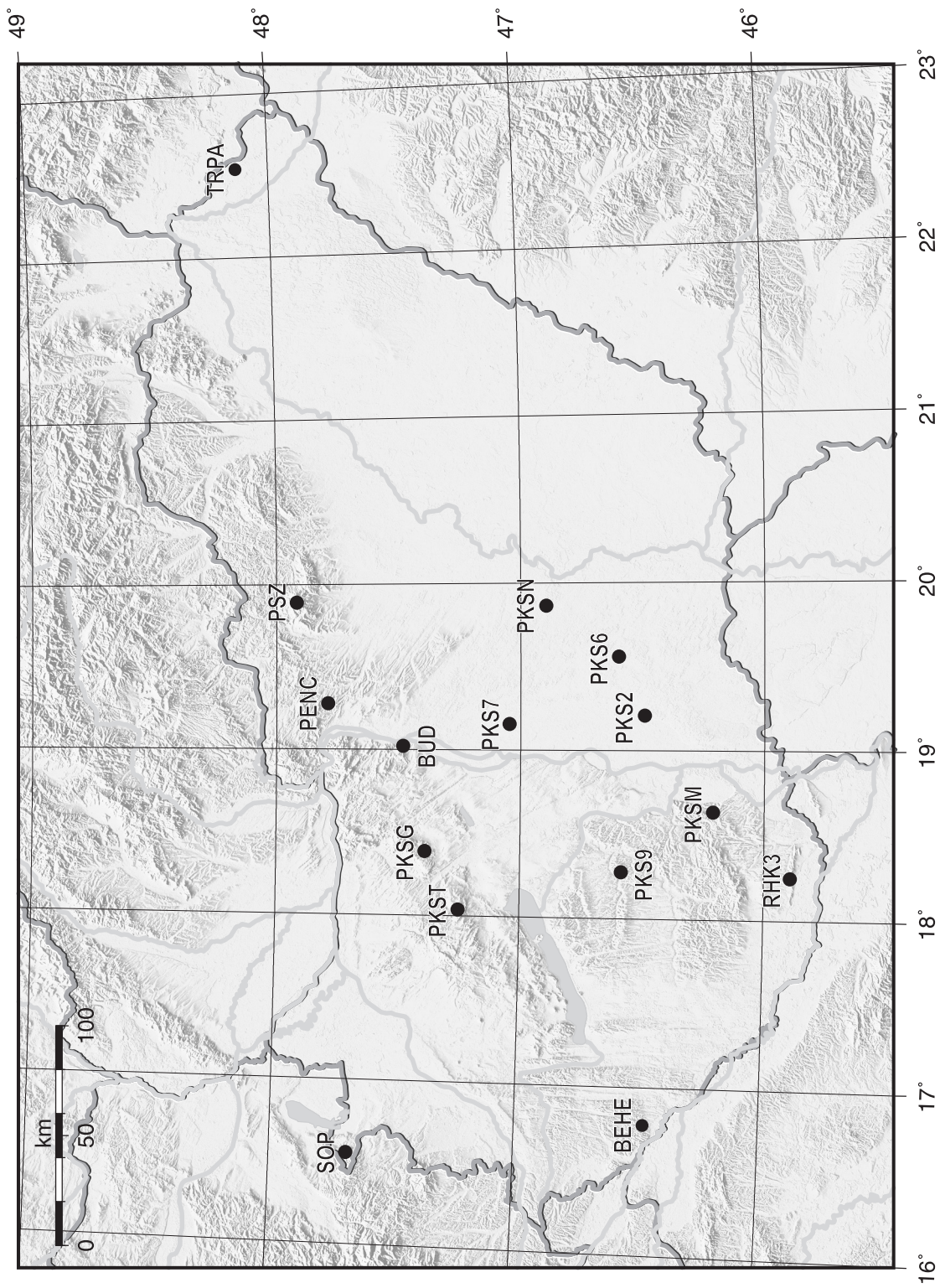
The larger pool of data provided by an extended, “virtual network” of seismic stations helps to have faster and more accurate earthquake locations and parameter determinations. In addition, near real time access to data from large number of stations makes possible to operate automatic rapid earthquake alarm systems. Automatically generated earthquake lists and epicenter maps are the main product of such systems.

The present configuration of the experimental virtual network *HUNRENG* is shown in Fig. 2.4 and Table 2.2.

2.1. Táblázat Szeizmológiai állomások, műszerek és alapkőzet
Table 2.1. Seismic stations, instrumentation and lithology

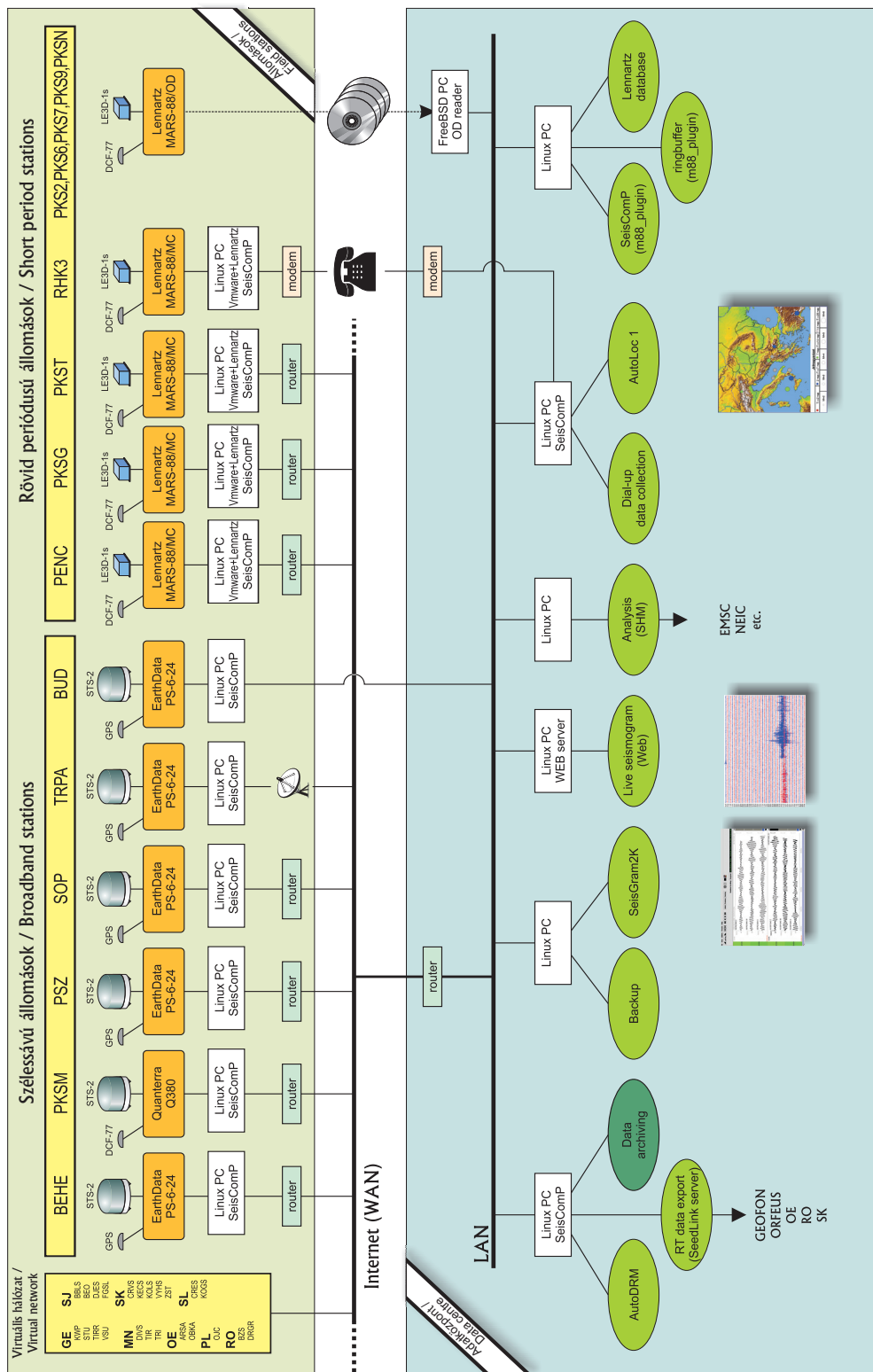
Jel Helység Code Location	Szélesség Latitude (N)	Hosszúság Longitude (E)	Magasság Elevation (m)	Alapkőzet Foundation	Állomás típusa Station type (1)	Érzékelő típusa Sensor type (2)	Regisztrálás Adatgyűjtő Recording mode Equipment (3)	Szerv. Org. (4)
BEHE Becsehely	46,4702	16,7755	298	üledék alluvium	3C BB	STS-2	D-C; PS-6-24 + SeisComP PC	GGKI
BUD Budapest	47,4836	19,0239	196	dolomit dolomite	3C BB	STS-2	D-C; PS-6-24 + SeisComP PC	GGKI
PENC Penc	47,7905	19,2817	250	üledék alluvium	3C SP	LE-3D	D-C; MARS-88MC + SeisComP PC	GR
PKS2 Kecel	46,4920	19,2131	106	homok sand	3C SP	LE-3D	D-C; MARS-88OC	GR
PKS6 Bócsa	46,5998	19,5645	120	homok sand	3C SP	LE-3D	D-C; MARS-88OC	GR
PKS7 Kunszentmiklós	47,0473	19,1609	95	agyag mud	3C SP	LE-3D	D-C; MARS-88OC	GR
PKS9 Tamási	46,5870	18,2789	240	lösz loess	3C SP	LE-3D	D-C; MARS-88OC	GR
PKSG Gánt	47,3918	18,3907	200	dolomit dolomite	3C SP	LE-3D	D-C; MARS-88MC + SeisComP PC	GR
PKSM Mórágy	46,2119	18,6413	170	gránit granite	3C BB	STS-2	D-C; Q380 + SeisComP PC	GGKI/ GR
PKSN Nyárlőrinc	46,8972	19,8673	110	homok sand	3C SP	LE-3D	D-C; MARS-88OC	GR
PKSO [*] Öskü	47,1614	18,0711	163	dolomit dolomite	3C SP	LE-3D	D-C; MARS-88MC + SeisComP PC	GR
PKST ^{**} Tés	47,2590	18,0711	473	dolomit dolomite	3C SP	LE-3D	D-C; MARS-88MC + SeisComP PC	GR
PSZ Piszkéstető	47,9184	19,8944	940	andezit andesite	3C BB	STS-2	D-C; PS-6-24 + SeisComP PC	GEO FON /GGKI
RHK3 Tenkes	45,8885	18,2521	420	mészkarbonát kő limestone	3C SP	LE-3D	D-C; MARS-88MC + SeisComP PC	GR
SOP Sopron	47,6833	16,5583	260	gneisz gneiss	3C BB	STS-2	D-C; PS-6-24 + SeisComP PC	GGKI
TRPA Tarpa	48,1304	22,5391	113	andezit andesite	3C BB	STS-2	D-C; PS-6-24 + SeisComP PC	GGKI

- (1) 3C – 3 komponenses szeizmométer / three component seismometer
 SP – rövid periódusú szeizmométer / short period seismometer; BB – széles sávú szeizmométer / broad band seismometer
 - (2) STS-2 – Streckeisen széles sávú szeizmométer / Streckeisen broad band seismometer
 LE-3D – Lennartz 3 komponenses 1Hz-es geofon / Lennartz three directional 1Hz geophone
 - (3) D – digitális / digital; C – folyamatos felvétel / continuous recording; PS-6-24 – Earth Data digitalizáló / Earth Data digitizer
 Q-380 – Quanterra adatgyűjtő rendszer / Quanterra data acquisition system;
 SeisComP – GEOFON Seismological Communication Processor
 MARS-88 – Lennartz adatgyűjtő / Lennartz data acquisition system
 - (4) GGKI – MTA Geodéziai és Geofizikai Kutatóintézet / Geodetic and Geophysical Research Institute, HAS
 GR – GeoRisk Földrengéskutató Intézet Kft. / GeoRisk Earthquake Research Institute Ltd.
- (*) Működés vége / Off date: 2007/05/30;
- (**) Működés kezdete / Open date: 2007/05/31



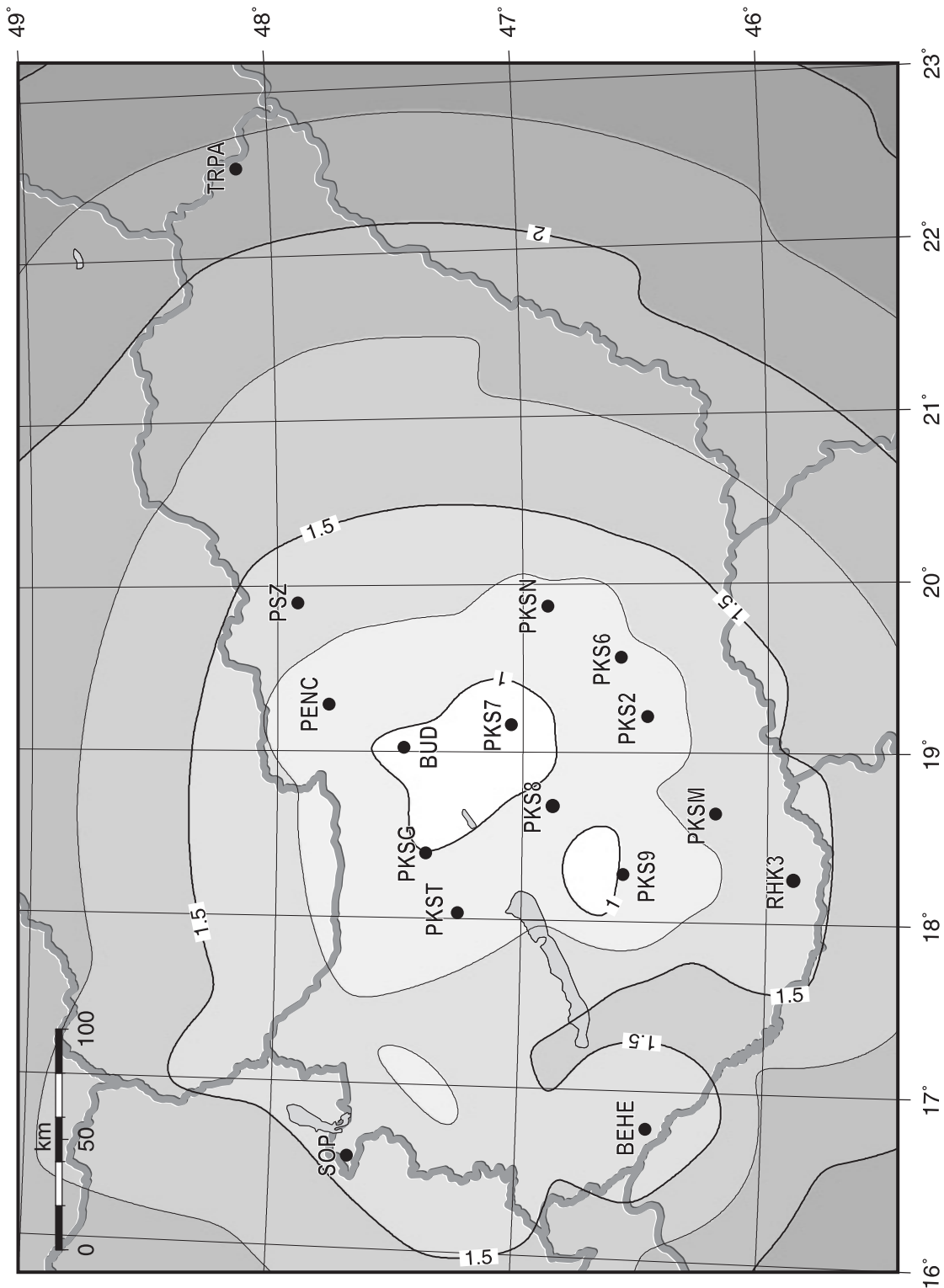
2.1. ábra A magyarországi szeizmológiai állomáshálózat 2007-ben (részletek: 2.1. Táblázat)

Figure 2.1. Seismograph station network in Hungary in 2007 (See Table 2.1. for details)



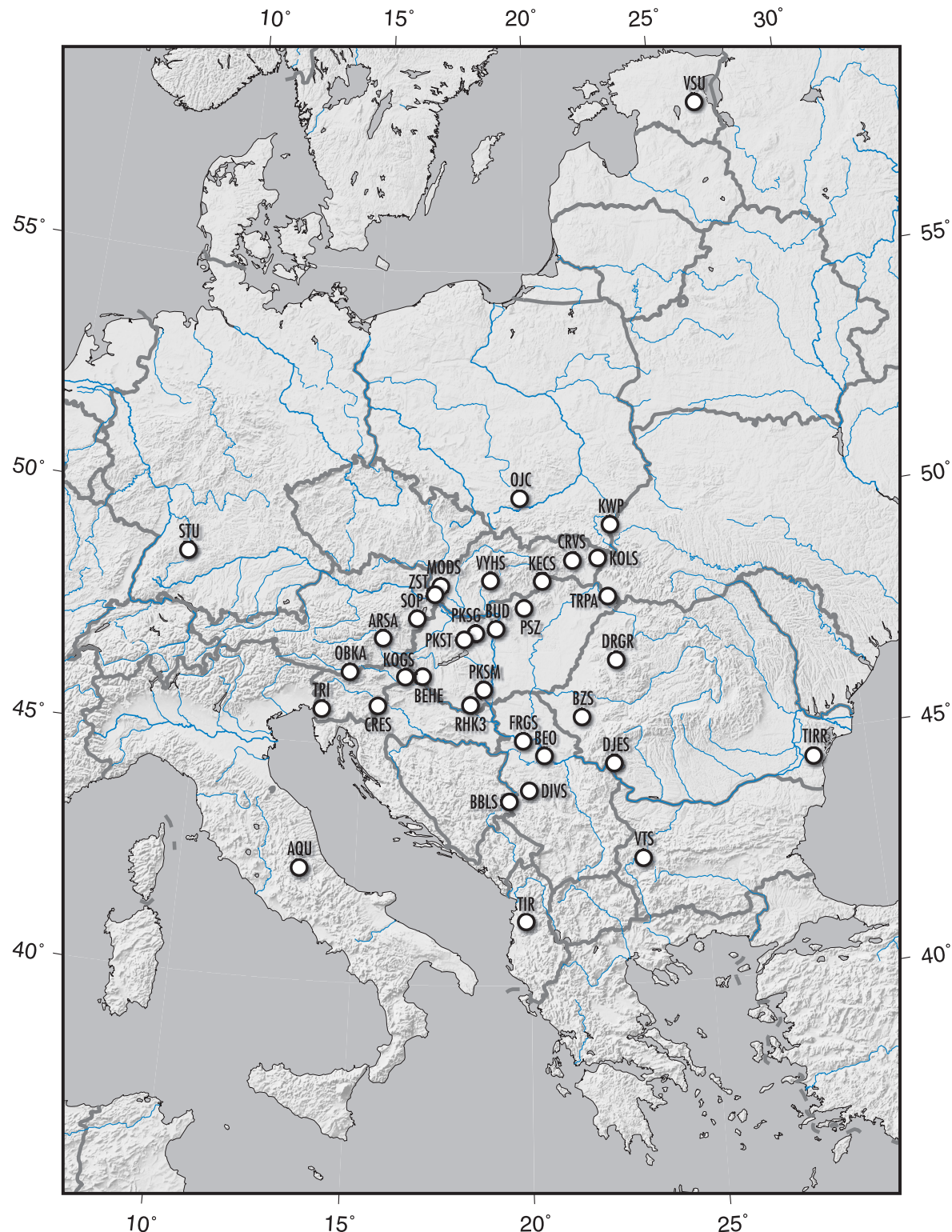
2.2. ábra A magyarországi szeizmológiai hálózat felépítése

Figure 2.2. Structure of the Hungarian seismograph network



2.3. ábra Érzékenységi küszöb átlagos zajviszonyokat feltételezve.
Az izovonalak Richter-féle lokális magnitúdót (ML) mutatnak.

Figure 2.3. Detection capability at average noise conditions.
Contour values are local Richter magnitudes (ML)



2.4. ábra HUNRENG virtuális szeizmológiai hálózat állomásai

Figure 2.4. Seismic stations used for HUNRENG virtual seismic network

2.2. Táblázat HUNRENG virtuális szeizmológiai hálózat külföldi állomásai
Table 2.2. Supplementary seismic stations used for HUNRENG virtual seismic network

Állomáskód / Station code	Az üzembentartó hálózat / Operating network		Ország / Country
	Kódja / Code *	Neve / Name	
KWP	GE	GEOFON	Lengyelország / Poland
SANT			Görögország / Greece
STU			Németország / Germany
TIRR			Románia / Romania
VSU			Észtország / Estonia
AQU	MN	MEDNET	Olaszország / Italy
DIVS			Szerbia / Serbia
TIR			Albánia / Albania
TRI			Olaszország / Italy
VTS			Bulgária / Bulgaria
ARSA	OE	Osztrák Szeizmológiai Hálózat / Austrian Seismic Network	Ausztria / Austria
OBKA			
OJC	PL	Lengyel Szeizmológiai Hálózat / Polish Seismological Network	Lengyelország / Poland
BZS	RO	Román Szeizmológiai Hálózat / Romanian Seismic Network	Románia / Romania
DRGR			
BBLS	SJ	Szerb Szeizmológiai Hálózat / Serbian Seismological Network	
BEO			
DJES			
FRGS			
CRVS	SK	Szlovák Nemzeti Szeizmológiai Hálózat / Slovak National Seismic Network	
KECS			
KOLS			
MODS			
VYHS			
ZST			
CRES	SL	Szlovéniai Szeizmológiai Hálózat / Slovenia Seismic Network	Szlovénia / Slovenia
KOGS			

(*) FDSN (International Federation of Digital Seismograph Networks) kód

3.

ESEMÉNYLISTA

ÉS

FÖLDRENGÉS FÉSZEKPARAMÉTEREK

A FÖLDRENGÉS FÉSZEKPARAMÉTEREK MEGHATÁROZÁSA

A fészekparaméterek rutinszerű kiszámításához a HYPO71PC programot használtuk (Lee and Lahr, 1975). Az eredeti kódöt kissé módosítottuk a könnyebb kezelhetőség érdekében, és kiegészítettük egy rutinnal, amely a Richter-féle lokális magnitúdót (M_L) számolja Bakun és Joyner (1984) módszerével.

A fészekparaméterek meghatározásánál mind a magyarországi, mind a szomszédos országok állomásainak adatait felhasználtuk. A számításnál az egyes állomások kimérési adatait az epicentrumtól való távolsággal fordított arányban súlyoztuk. Néhány esetben, amikor elegendő P fázis adat állt rendelkezésre, az S fázis adatakat nem használtuk fel.

SEBESSÉGMODELL

A számításnál felhasznált 3 rétegű sebességmodell több száz helyi és közeli földrengés kéregfázis adatain alapul (Mónus, 1995).

<i>Sebesség (v_P)</i> [km/s]	<i>Mélység</i> [km]	<i>Vastagság</i> [km]	v_P/v_S
5,60	0,0	20,0	1,78
6,57	20,0	11,0	
8,02	31,0	∞	

3.

LIST OF ORIGINS AND HYPOCENTER PARAMETERS

METHOD FOR HYPOCENTER PARAMETER DETERMINATION

HYP071PC (Lee and Lahr, 1975) was used for the routine calculation of hypocenter parameters. The original program has been modified and a routine for Richter local magnitude calculation implemented. For the magnitude calculations, the method published by Bakun and Joyner (1984) has been used.

The hypocenter parameters have been calculated using phase readings of seismological stations from Hungary and from the adjoining countries. However, a distance weighting has been applied, phase data from stations with epicenter distance greater than 450 km have been weighted out. In some cases, when sufficient number of P readings were available, S phase readings were not used in the calculations.

CRUSTAL VELOCITY MODEL

The three-layer crustal velocity model used in the hypocenter calculations has been derived from crustal phase travel times of several hundreds of local earthquakes (Mónus, 1995).

<i>Velocity (v_P) [km/s]</i>	<i>Depth [km]</i>	<i>Thickness [km]</i>	v_P/v_S
5.60	0.0	20.0	1.78
6.57	20.0	11.0	
8.02	31.0	∞	

ESEMÉNYLISTA / LIST OF EVENTS

Nap	Kipattanási idő (UTC) óó pp mp	Földrajzi koordináták Lat Long	Mélység (km)	ML	I _{MAX} (EMS)	Helyszín
Day	Origin time UTC hr mn sec	Geographic coordinates Lat Long	Depth (km)	ML	I _{MAX} (EMS)	Locality/Region
JANUÁR / JANUARY, 2007						
03	4:39:48.3	47.511N 19.334E	27	1.2	-	Nagytarcsa
15	18:17:29.0	48.200N 21.186E	4	1.7	-	Monok
FEBRUÁR / FEBRUARY, 2007						
20	13:37:06.3	45.615N 18.319E	8		-	Croatia
28	11:06:20.3	48.047N 19.640E	0		-	Sóshartyán (expl.)
MÁRCIUS / MARCH, 2007						
02	15:26:56.3	48.458N 18.462E	8	0.9	-	Slovakia (expl.)
03	20:35:33.9	47.402N 16.931E	6	3.0	5	Bő
05	9:14:31.5	48.362N 19.819E	1	1.9	-	Slovakia
07	23:26:33.6	46.396N 16.750E	10		-	Tótszerdahely
14	14:36:25.9	48.230N 21.214E	0	2.0	-	Rátka
22	9:30:55.1	47.994N 19.805E	1	1.9	-	Báttonyterenye
22	11:21:38.4	47.895N 19.403E	10	1.5	-	Bercel
24	4:53:02.1	48.637N 20.179E	0	2.1	-	Slovakia (expl.)
26	14:33:53.5	47.373N 18.255E	5	1.9	-	Mór
28	10:53:23.3	48.892N 20.511E	0	1.7	-	Slovakia (expl.)
29	8:04:08.6	47.964N 19.852E	1	2.2	-	Dorogháza
ÁPRILIS / APRIL, 2007						
04	6:06:45.1	47.361N 18.372E	10		-	Gánt
14	6:19:39.0	45.549N 21.287E	11		-	Romania
18	12:57:58.8	48.641N 20.870E	10	2.0	-	Slovakia (expl.)
19	12:02:37.6	48.005N 21.399E	3		-	Tiszalök (expl.)
21	19:35:43.2	46.133N 20.528E	10	2.5	-	Apátfalva
MÁJUS / MAY, 2007						
05	4:39:25.6	47.372N 18.170E	9		-	Nagyveleg
05	10:17:07.0	47.390N 18.168E	11		-	Nagyveleg
05	16:16:16.1	47.360N 18.191E	8		-	Mór
08	3:59:01.2	47.293N 18.315E	15		-	Magyaraalmás
08	9:15:48.2	47.233N 18.289E	5		-	Moha
18	12:13:56.8	47.575N 18.289E	10	1.4	-	Környe (expl.)

Földrengés paraméterek**Hypocenter Parameters**

31	11:26:41.0	47.907N	19.392E	10	1.5	-	Becske (expl.)
----	------------	---------	---------	----	-----	---	----------------

JÚNIUS / JUNE, 2007

04	9:52:25.5	48.055N	20.704E	1	1.5	-	Miskolctapolca
05	9:08:56.3	47.387N	18.717E	10		-	Gyúró
07	10:46:27.4	48.616N	20.764E	0	1.6	-	Slovakia (expl.)
11	11:45:55.8	48.223N	21.241E	0	1.9	-	Tállya

JÚLIUS / JULY, 2007

01	15:33:03.9	45.856N	20.353E	10	2.2	-	Serbia
04	11:51:39.4	48.354N	19.853E	0	1.9	-	Slovakia (expl.)
09	22:07:08.8	46.134N	16.605E	5	3.0	-	Croatia
09	22:31:05.0	46.150N	16.510E	6	2.3	-	Croatia
10	10:15:11.3	48.898N	20.510E	0	2.3	-	Slovakia (expl.)
10	13:57:20.3	48.231N	19.198E	2	2.4	-	Slovakia
12	7:06:58.1	48.336N	19.849E	0	2.0	-	Slovakia (expl.)
13	11:17:03.4	48.442N	20.485E	0	1.3	-	Trízs (expl.)
23	8:45:10.4	47.360N	18.508E	0		-	Lovasberény (expl.)
23	16:09:58.6	48.556N	20.306E	0	1.4	-	Slovakia (expl.)
27	6:03:10.9	46.239N	16.891E	6		-	Croatia
27	8:40:56.3	47.199N	18.261E	7		-	Csór
29	0:28:32.1	45.996N	20.537E	6	1.8	-	Romania
31	6:55:44.3	46.481N	17.874E	10		-	Somodor
31	8:41:55.3	47.362N	18.375E	7		-	Gánt (expl.)
31	15:09:47.3	47.337N	18.299E	10		-	Csákberény

AUGUSZTUS / AUGUST, 2007

09	4:22:23.5	47.898N	18.478E	13	1.7	-	Slovakia
14	5:04:44.6	45.734N	21.111E	6		-	Romania
14	9:06:05.8	48.369N	19.866E	0	1.9	-	Slovakia (expl.)
19	22:57:03.6	46.471N	16.844E	13	3.4	-	Rigyác
23	6:44:56.9	47.934N	19.801E	0	1.9	-	Mátraverebély (expl.)
23	10:09:02.4	48.578N	20.796E	0	1.8	-	Tornanádaska (expl.)
30	8:49:34.9	48.342N	19.837E	0	2.2	-	Slovakia (expl.)

SZEPTEMBER / SEPTEMBER, 2007

05	12:44:52.4	45.783N	17.810E	6	2.6	-	Croatia/Drávasztára
07	9:30:46.8	47.988N	19.985E	0	0.9	-	Mátramindszent
10	6:10:07.9	47.943N	19.840E	0	1.7	-	Mátraverebély (expl.)
10	12:28:59.9	48.003N	19.503E	0	1.2	-	Nógrádsipek (expl.)
12	8:34:30.6	47.942N	19.851E	6	1.6	-	Mátraszentimre
14	10:40:41.5	48.648N	19.871E	0	1.8	-	Slovakia (expl.)
15	4:39:33.9	46.000N	17.575E	10	2.7	4-5	Homokszentgyörgy
17	12:37:17.5	48.022N	19.375E	0	1.5	-	Nógrádmarcal (expl.)
20	10:47:48.2	48.923N	20.476E	10	2.1	-	Slovakia
20	22:46:06.3	45.510N	20.611E	10	3.5	-	Serbia

Hypocenter Parameters**Földrengés paraméterek**

24	11:26:45.7	47.867N	19.426E	0	1.5	-	Bercel (expl.)
29	14:04:28.6	45.961N	16.091E	2		-	Croatia

OKTÓBER / OCTOBER, 2007

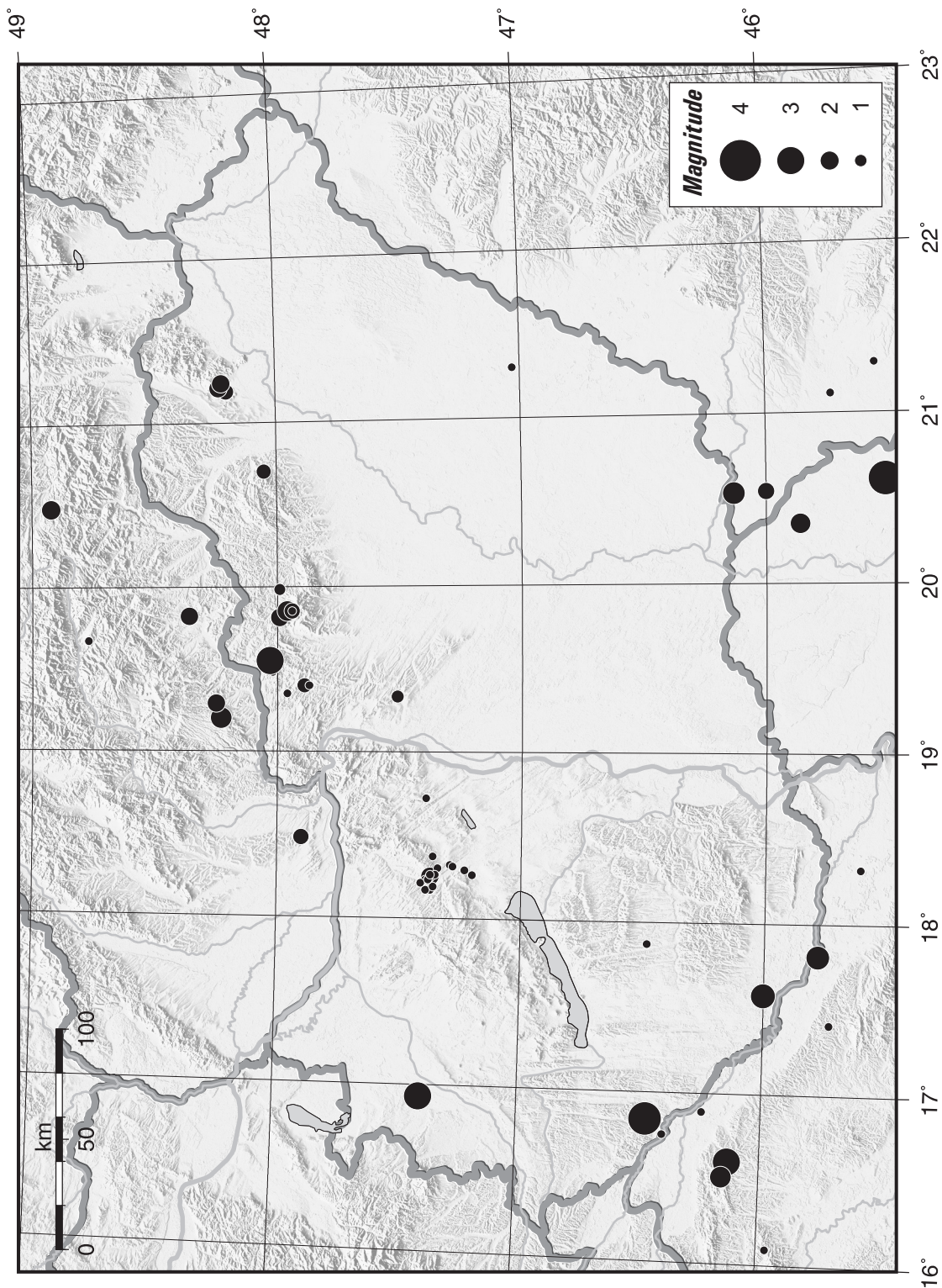
01	12:12:22.5	47.875N	19.397E	0		-	Bercel (expl.)
03	10:46:31.7	47.872N	19.410E	0		-	Bercel (expl.)
10	11:28:37.1	47.942N	19.371E	0		-	Magyarnándor (expl.)
11	9:52:58.5	47.193N	18.296E	0		-	Szfehérvár (expl.)
12	8:43:49.5	47.367N	18.243E	8		-	Mór
12	8:54:46.8	47.390N	18.230E	10		-	Mór
12	8:57:16.3	47.383N	18.229E	3		-	Mór
12	13:57:01.8	47.412N	18.207E	1		-	Pusztavám
12	19:19:12.1	47.347N	18.256E	8		-	Csókakő
13	3:42:43.8	47.285N	18.306E	1		-	Magyaralmás
13	13:08:47.5	48.354N	19.846E	1	2.1	-	Slovakia (expl.)
16	10:57:23.0	47.955N	19.348E	1		-	Magyarnándor
27	23:21:31.0	47.380N	18.229E	0		-	Mór

NOVEMBER / NOVEMBER, 2007

07	11:08:24.1	48.332N	19.725E	0	2.3	-	Slovakia (expl.)
08	11:06:59.1	47.936N	19.851E	8		-	Mátraszentimre
08	15:01:27.4	48.016N	19.483E	8		-	Rimóc
14	13:31:10.0	48.272N	19.784E	10		-	Slovakia (expl.)
18	14:22:38.3	48.033N	19.552E	3	3.0	4	Hollókő
20	9:03:27.7	48.251N	19.292E	0	2.0	-	Slovakia
24	12:09:39.3	48.325N	19.786E	0	1.9	-	Slovakia (expl.)
29	12:15:18.4	47.867N	19.400E	10		-	Bercel

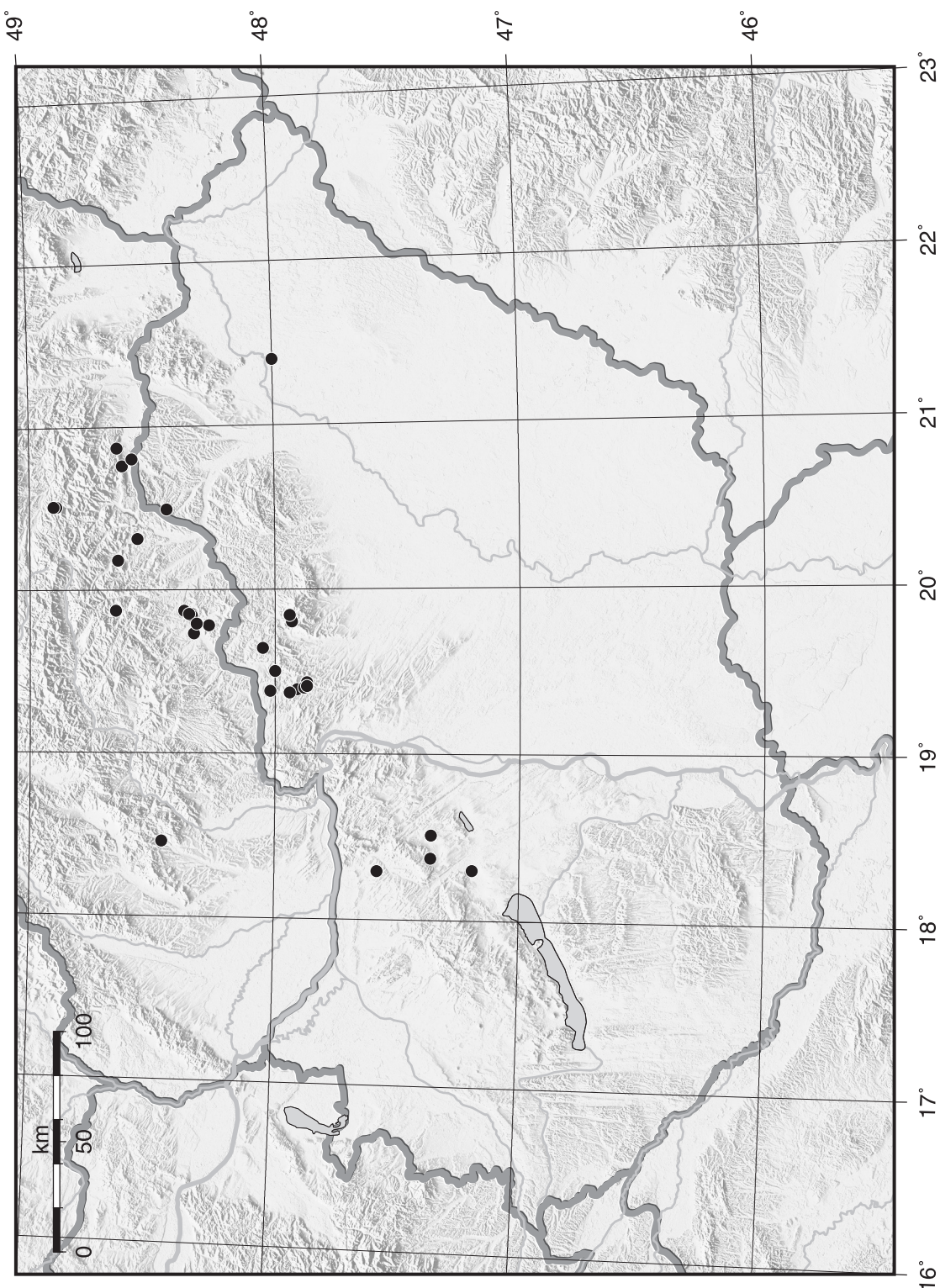
DECEMBER / DECEMBER, 2007

16	13:00:54.9	47.030N	21.296E	2		-	Csökmő
18	3:27:34.5	48.772N	19.671E	10		-	Slovakia
21	22:46:24.7	47.366N	18.263E	10		-	Csókakő
26	6:10:33.0	45.729N	17.407E	17		-	Croatia



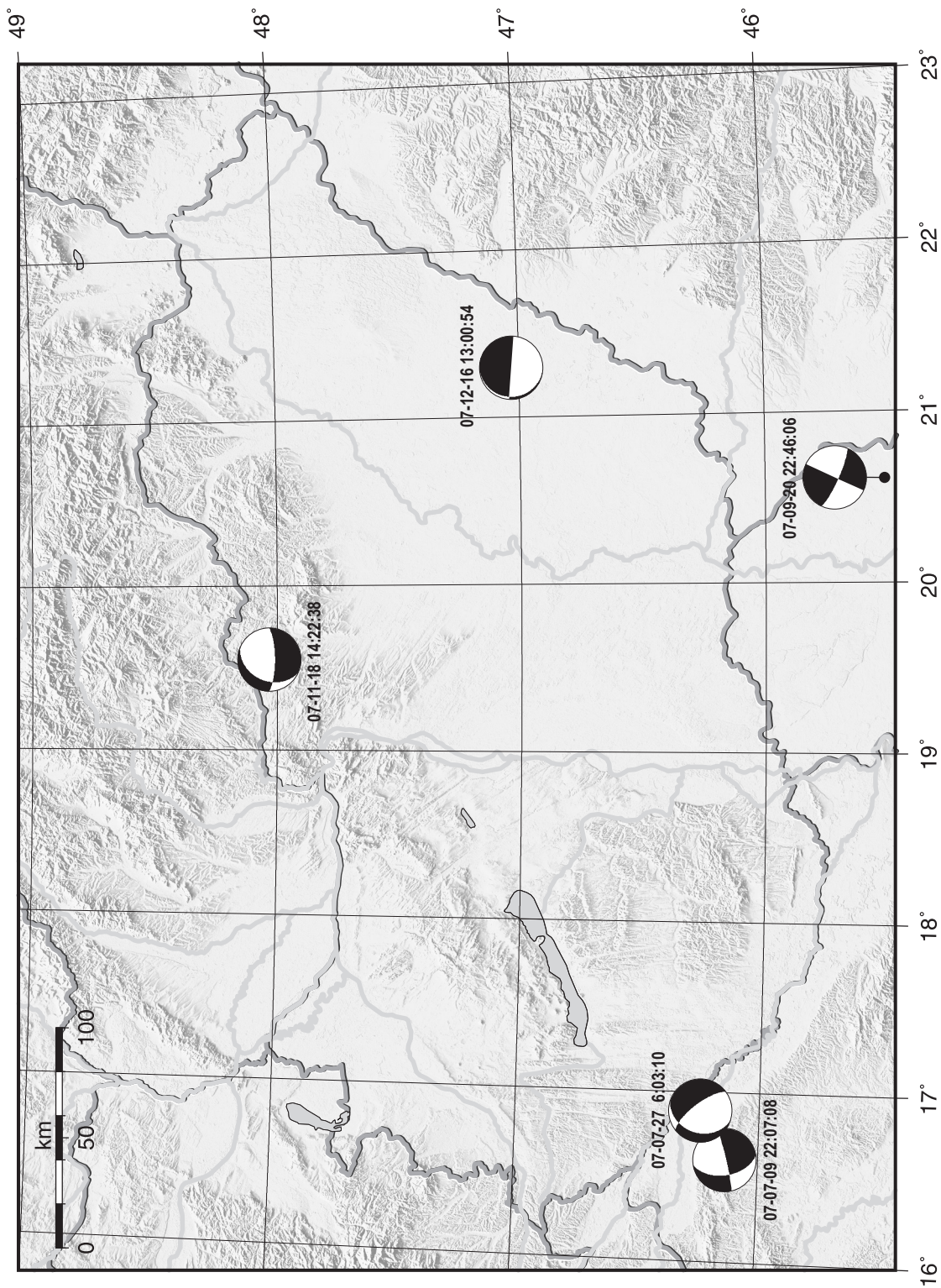
3.1. ábra A 2007-ben regisztrált földrengések epicentrumai

Figure 3.1. Epicenters of 2007 earthquakes



3.2. ábra A 2007-ben regisztrált robbantások epicentrumai

Figure 3.2. Epicenters of 2007 explosions



3.3. ábra A 2007-ben regisztrált földrengések fészekmechanizmusai

Figure 3.3. Fault plane solutions of 2007 earthquakes

FÉSZEKPARAMÉTEREK ÉS FÁZISADATOK

A listában alkalmazott jelek és rövidítések magyarázata:

time:	Az esemény kipattanásának ideje (óra:perc:másodperc; UTC).
ML:	A rengés Richter-féle lokális magnitúdója.
lat:	Az esemény földrajzi szélessége (fok).
lon:	Az esemény földrajzi hosszúsága (fok).
h:	A feszek mélysége (km).
erh:	Horizontális hiba km-ben. ($erh = \sqrt{SDX^2 + SDY^2}$, ahol SDX és SDY az epicentrum földrajzi szélességének és hosszúságának meghatározási hibái.) Ha $erh = ---$, a kevés rendelkezésre álló adat miatt erh nem volt meghatározható.
erz:	A feszekmélység meghatározásának hibája (km). $erz = ---$ azt jelzi, hogy erz nem volt meghatározható a kevés rendelkezésre álló adat miatt.
nr:	A számításnál felhasznált fázisadatok száma. Azonos állomásról származó P és S beérkezések 2 adatnak számítanak.
gap:	Az állomások közötti legnagyobb irányeltérés (fok).
rms:	A számított beérkezési idők átlagnégyzetes hibája (mp). ($rms = \sqrt{\sum R_i^2 / nr}$, ahol R_i az i -edik állomás időhibája (reziduál).)
Locality:	A rengés földrajzi helyének megnevezése, általában a legközelebbi település neve.
Comments:	Az eseménnyel kapcsolatos egyéb közlemény (pl. epicentrális intenzitás).
sta:	Az állomás neve. (L. 2. fejezet.)
dist:	Az állomás távolsága az epicentrumtól (km).
azm:	Az állomás irányszöge az epicentrumból az északi iránytól számítva (fok).
phase:	Fázis azonosító; az első betű a kezdetet jellemzi: e = lassan emelkedő i = hirtelen kitérő; a második és harmadik betű a fázis megnevezése pl. Pn, Pg, Sn, Sg; a negyedik a kitérési irányt jelzi: C=kompresszió/fel, D=dilatáció/le.
hr mn sec:	A fázis beérkezési ideje (óra, perc, másodperc).
res:	Reziduál (másodperc). ($res = T_{obs} - T_{cal}$, ahol T_{obs} a mért, és T_{cal} a számított menetidő.)

Minden rengésnél, ahol elegendő számú első kitérési adat állt rendelkezésre, megkíséreltük a feszekmechanizmus meghatározását. Az ábrákon az alsó félteke sztereografikus képe látható, **P** a maximális, **T** a minimális feszültségtengely iránya. A feszekmechanizmusokat a 3.3. ábra foglalja össze.

PHASE DATA

Key to phase data encoding

time:	Time of occurrence of event in hours, mins and secs (UTC).
ML:	Richter local magnitude of the earthquake.
lat:	Latitude of the event in degrees.
lon:	Longitude of the event in degrees.
h:	Depth of the hypocenter in km.
erh:	Standard error of the epicenter in km. ($erh = \sqrt{SDX^2 + SDY^2}$, where SDX and SDY are the standard errors in latitude and longitude respectively, of the epicenter.) If $erh = ---$, this means that erh could not be computed because of insufficient data.
erz:	Standard error of the focal depth in km. If $erz = ---$, this means that erz could not be computed either because focal depth is fixed in the solution or because of insufficient data.
nr:	Number of station readings used in locating the earthquake. P and S arrivals for the same stations are regarded as 2 readings.
gap:	Largest azimuthal separation in degrees between stations.
rms:	Root mean square error of time residuals in seconds. ($rms = \sqrt{\sum R_i^2 / nr}$, where R_i is the time residual of the i^{th} station.
Locality:	A geographical indication of the epicenter area, usually the nearest settlement.
Comments:	Additional comments about the event, eg. maximum EMS intensity
sta:	Station name. (For details see Chapter 2.)
dist:	Distance from earthquake epicenter to station in km.
azm:	Azimuthal angle between epicenter to station measured from North in degrees.
phase:	Phase identifier; the first letter characterizes onset e = emergent i = impulsive, the second and third indicate the phase eg. Pn, Pg, Sn and Sg, the forth indicates the polarity C=compression/up D=dilatation/down.
hr mn sec:	Arrival time of the phase from input data.
res:	Residual of the phase in secs. ($res = T_{obs} - T_{cal}$, where T_{obs} is the observed and T_{cal} is the calculated travel time respectively.

Fault plane solutions were attempted for each event where any information for the stress field could be drawn. Stereographic projections of the lower focal hemisphere are shown, **P** and **T** are the main compression and tension axes respectively. Strike, dip and slip values of the nodal planes are also indicated. Calculations were carried out by computer program FPFIT (Reasenberg and Oppenheimer, 1985). The results are summarized in Fig. 3.3.

Hypocenter Parameters

1.

2007-01-03 time: 4:39:48.29 UTC ML= 1.2
 lat: 47.511N lon: 19.334E h= 27.1 km
 erh= 4.8km erz= 2.8km
 nr= 5 gap=157 rms=1.23
 Locality: Nagytarcsa
 Comments:

sta dist azm phase hr mn sec res
 BUD 23.6 263 iPgD 4:39:56.00 1.56
 PSZ 61.8 43 ePgC 4:39:59.10 -0.59
 PKSG 72.4 259 ePnC 4:40:00.70 -0.48
 Sn 40:09.10 -2.12
 PKSM 153.8 200 Sn 4:40:30.00 0.70

2.

2007-01-15 time: 18:17:28.97 UTC ML= 1.7
 lat: 48.200N lon: 21.186E h= 4.0 km
 erh= 1.8km erz= 1.8km
 nr= 14 gap= 79 rms=0.51
 Locality: Monok
 Comments:

sta dist azm phase hr mn sec res
 KECS 60.8 301 iPg 18:17:40.30 0.45
 iSg 17:47.70 -0.63
 TRPA 100.9 94 iPgD 18:17:47.20 0.18
 eSg 18:00.20 -0.89
 PSZ 101.2 252 iPg 18:17:46.90 -0.17
 eSg 18:00.80 -0.38
 KOLS 114.4 45 iPg 18:17:50.10 0.68
 eSg 18:04.40 -0.97
 STHS 135.4 2 ePn 18:17:53.50 1.12
 iSn 18:10.40 -0.24
 VYHS 177.2 281 iPn 18:17:57.90 0.30
 iSn 18:19.80 -0.12
 DRGR 194.2 144 iPn 18:17:59.30 -0.41
 BZS 289.0 173 iPnD 18:18:12.50 0.97
 BURB 308.3 102 iPn 18:18:15.30 1.36
 GZR 334.8 159 iPn 18:18:17.50 0.26

3.

2007-02-20 time: 13:37:06.30 UTC ML= 1.3
 lat: 45.615N lon: 18.319E h= 8.1 km
 erh= 1.6km erz= 1.1km
 nr= 6 gap=288 rms=0.09
 Locality: Croatia
 Comments:

sta dist azm phase hr mn sec res
 RHK3 30.9 350 iPgD 13:37:11.90 -0.09
 eSg 37:16.60 0.17
 PKSM 70.9 21 ePgD 13:37:19.10 0.06
 eSg 37:28.90 -0.08
 BEHE 152.7 309 ePnC 13:37:31.40 0.06
 eSn 37:50.80 -0.07

4.

2007-02-28 time: 11:06:20.27 UTC ML= 1.6
 lat: 48.047N lon: 19.640E h= 0.0 km
 erh= 1.5km erz= 365km
 nr= 6 gap=103 rms=0.21
 Locality: Sóshartyán
 Comments: probably explosion

sta dist azm phase hr mn sec res
 PSZ 23.8 127 ePgC 11:06:24.60 0.08
 eSg 06:27.90 0.07
 PENC 39.2 223 ePgC 11:06:26.90 -0.37
 eSg 06:32.90 0.18
 VYHS 77.7 310 ePg 11:06:34.50 0.35
 KECS 79.3 52 ePg 11:06:34.40 -0.04

Földrengés paraméterek

5.

2007-03-02 time: 15:26:56.30 UTC ML= 0.9
 lat: 48.458N lon: 18.462E h= 7.6 km
 erh= 5.4km erz= 5.2km
 nr= 9 gap=165 rms=0.83
 Locality: Slovakia
 Comments: probably explosion

sta dist azm phase hr mn sec res
 KOLL 14.1 342 ePg 15:26:57.80 -1.36
 eSg 27:02.00 0.60
 VYHS 28.0 82 ePg 15:27:00.70 -0.78
 eSg 27:07.60 2.08
 SMOL 76.6 275 ePg 15:27:10.30 0.26
 eSg 27:21.40 0.63
 ZST 104.9 254 eSg 15:27:29.80 0.07
 KECS 149.7 89 ePn 15:27:21.60 0.58
 eSn 27:40.20 -0.10

6.

2007-03-03 time: 20:35:33.90 UTC ML= 3.0
 lat: 47.402N lon: 16.931E h= 6.4 km
 erh= 1.6km erz= 1.8km
 nr= 31 gap= 45 rms=0.58
 Locality: Bő
 Comments: felt 5 EMS

sta dist azm phase hr mn sec res
 SOP 42.0 318 ePg 20:35:41.80 0.32
 eSg 35:46.40 -1.00
 ZST 89.2 8 iPg 20:35:49.40 -0.47
 eSg 35:59.50 -2.82
 BEH 104.3 187 ePgD 20:35:53.80 1.25
 eSg 36:07.60 0.49
 ARSA 107.8 261 Pg 20:35:52.60 -0.57
 Sg 36:04.90 -3.31
 PKSG 110.2 91 iPgD 20:35:53.60 -0.01
 eSg 36:08.40 -0.59
 KOGS 118.1 206 iPn 20:35:54.10 -0.73
 SMOL 129.1 17 ePn 20:35:56.80 0.60
 GROS 151.0 226 iPn 20:35:58.40 -0.53
 iSn 36:18.70 0.24
 BUD 158.1 87 eSn 20:36:22.40 2.35
 PERS 162.1 238 iPn 20:36:00.10 -0.22
 KOLL 170.8 40 eSn 20:36:23.60 0.74
 ZAVS 180.8 233 iPn 20:36:02.50 -0.15
 PENC 182.0 76 iPnD 20:36:02.90 0.10
 eSn 36:31.90 6.56
 PKSM 185.9 135 iPnD 20:36:02.90 -0.39
 eSn 36:29.00 2.79
 VYHS 187.1 50 iPn 20:36:02.30 -1.13
 eSn 36:23.00 -3.47
 RHK3 196.3 149 iPnD 20:36:04.70 0.11
 eSn 36:31.30 2.77
 MOA 206.4 284 Pn 20:36:08.20 2.36
 Sn 36:30.20 -0.56
 OBKA 206.7 241 Pn 20:36:06.00 0.12
 Sn 36:29.00 -1.84
 VRAC 213.4 353 iPn 20:36:07.40 0.68
 PKSN 229.7 104 eSn 20:36:43.80 7.87
 PSZ 229.9 76 iPn 20:36:09.10 0.33
 eSn 36:42.20 6.22
 MORC 267.9 10 iPnD 20:36:13.40 -0.11
 KBA 273.9 262 Pn 20:36:14.80 0.54
 Sn 36:44.40 -1.35
 VOY 277.8 237 ePn 20:36:14.70 -0.04
 eSn 36:55.10 8.50
 OKC 285.3 18 ePn 20:36:15.50 -0.18
 GEC2 289.1 304 ePn 20:36:17.30 1.15
 KECS 291.5 66 ePn 20:36:16.10 -0.36
 eSn 36:59.00 9.35
 KHC 314.5 308 ePn 20:36:20.50 1.18
 eSn 37:00.70 5.94
 DPC 330.9 352 ePn 20:36:22.00 0.64
 NIE 336.1 48 ePn 20:36:22.70 0.68

Földrengés paraméterek

PKSG	215.0	311	ePn	19:36:15.80	0.07
BEH	291.5	277	ePn	19:36:25.60	0.33
	21.				

2007-05-05 time: 4:39:25.60 UTC ML=
lat: 47.372N lon: 18.170E h= 8.9 km
erh= 4.7km erz= 1.7km
nr= 5 gap=245 rms=0.26
Locality: Nagyveleg
Comments:

sta	dist	azm	phase	hr mn sec	res
PKSG	16.8	83	ePgC	4:39:29.00	0.00
			eSg	39:31.80	0.14
PKSO	24.6	198	ePg	4:39:29.90	-0.37
			eSg	39:34.40	0.48
PKSM	133.9	164	eSn	4:40:05.90	0.09

22.

2007-05-05 time: 10:17:07.00 UTC ML=
lat: 47.390N lon: 18.168E h= 10.8 km
erh= 1.9km erz= 0.6km
nr= 5 gap=253 rms=0.07
Locality: Nagyveleg
Comments:

sta	dist	azm	phase	hr mn sec	res
PKSG	16.8	89	ePgC	10:17:10.50	-0.07
			eSg	17:13.40	0.04
PKSO	26.5	196	ePg	10:17:12.20	0.10
			eSg	17:16.00	-0.08
PKSM	135.9	165	eSn	10:17:47.20	-0.01

23.

2007-05-05 time: 16:16:16.07 UTC ML=
lat: 47.360N lon: 18.191E h= 8.4 km
erh= ---km erz= ---km
nr= 4 gap=234 rms=0.01
Locality: Mór
Comments:

sta	dist	azm	phase	hr mn sec	res
PKSG	15.5	77	ePgC	16:16:19.20	-0.01
			eSg	16:21.70	0.03
PKSO	23.8	202	eSg	16:16:24.10	-0.01
PKSM	132.1	165	eSn	16:16:56.00	0.00

24.

2007-05-08 time: 3:59:01.20 UTC ML=
lat: 47.293N lon: 18.315E h= 15.2 km
erh=15.5km erz= 2.4km
nr= 5 gap=204 rms=0.22
Locality: Magyaralmás
Comments:

sta	dist	azm	phase	hr mn sec	res
PKSG	12.3	28	ePgC	3:59:04.50	-0.20
			eSg	59:07.60	0.17
PKSO	23.6	232	ePg	3:59:06.50	0.29
			eSg	59:09.80	-0.32
VYHS	139.1	16	eSn	3:59:41.10	-0.02

25.

2007-05-08 time: 9:15:48.24 UTC ML=
lat: 47.233N lon: 18.289E h= 5.0 km
erh=16.0km erz= 3.7km
nr= 6 gap=221 rms=0.51
Locality: Moha
Comments:

sta	dist	azm	phase	hr mn sec	res
PKSO	18.3	244	ePgC	9:15:51.30	-0.33
			eSg	15:54.70	0.42
PKSG	19.3	23	ePgC	9:15:51.50	-0.29

Hypocenter Parameters

VYHS	146.1	16	eSg	15:54.60	0.04
			ePn	9:16:13.80	0.96
			eSn	16:31.40	-0.63

26.

2007-05-18 time: 12:13:56.75 UTC ML= 1.4
lat: 47.575N lon: 18.289E h= 10.0 km
erh=27.9km erz=33.8km
nr= 5 gap=160 rms=0.74
Locality: Környe
Comments: probably explosion

sta	dist	azm	phase	hr mn sec	res
PKSG	21.8	159	ePgC	12:14:00.90	-0.13
			eSg	14:03.70	-0.67
VYHS	110.0	22	ePn	12:14:17.30	1.08
			eSn	14:29.30	-2.11
MODS	116.6	320	eSn	12:14:33.10	0.23

27.

2007-05-31 time: 11:26:41.03 UTC ML= 1.5
lat: 47.907N lon: 19.392E h= 10.0 km
erh= 5.5km erz= 8.0km
nr= 8 gap=124 rms=0.83
Locality: Becske
Comments: probably explosion

sta	dist	azm	phase	hr mn sec	res
PENC	15.4	212	ePgC	11:26:43.80	-0.51
			eSg	26:46.90	0.04
PSZ	37.6	88	ePgD	11:26:48.10	0.12
			eSg	26:53.50	0.10
VYHS	77.2	328	ePg	11:26:56.60	1.67
			eSg	27:04.50	-1.28
KECS	103.5	52	eP*	11:27:00.20	0.61
			eS*	27:12.10	-1.96

28.

2007-06-04 time: 9:52:25.46 UTC ML= 1.5
lat: 48.055N lon: 20.704E h= 1.2 km
erh= 5.8km erz= 4.3km
nr= 10 gap=225 rms=0.88
Locality: Miskolctapolca
Comments:

sta	dist	azm	phase	hr mn sec	res
KECS	50.3	341	ePg	9:52:34.70	0.25
			eSg	52:41.10	-0.37
PSZ	62.3	256	ePgC	9:52:36.30	-0.29
			eSg	52:45.50	0.23
CRVS	109.6	31	ePg	9:52:44.90	-0.14
			eSg	52:58.50	-1.81
VYHS	147.0	289	ePn	9:52:50.90	0.23
			eSn	53:08.60	-1.74
STHS	156.6	15	ePn	9:52:53.90	2.03
			eSn	53:13.70	1.23

29.

2007-06-05 time: 9:08:56.26 UTC ML=
lat: 47.387N lon: 18.717E h= 10.0 km
erh=38.1km erz=35.3km
nr= 6 gap=271 rms=0.44
Locality: Gyúró
Comments:

sta	dist	azm	phase	hr mn sec	res
PKSG	24.6	271	ePgD	9:09:00.50	-0.51
			eSg	09:05.10	0.39
PKST	53.5	255	ePg	9:09:05.70	-0.29
			eSg	09:14.20	0.63
PKSM	130.8	183	ePnD	9:09:18.80	0.47
			eSn	09:35.30	-0.24

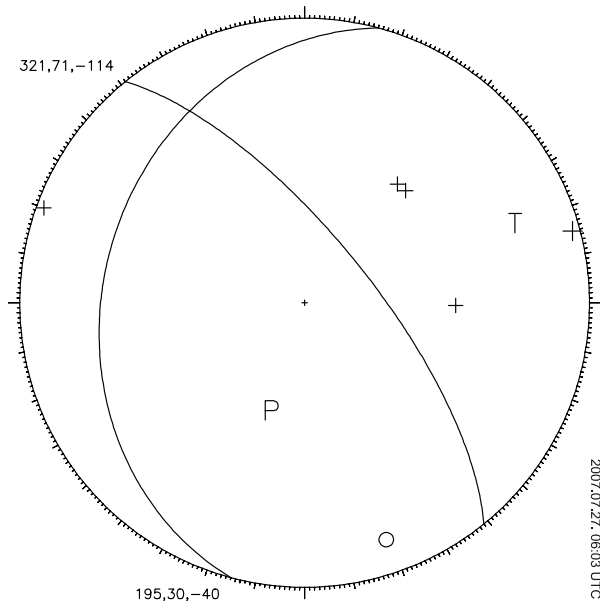
Hypocenter Parameters

PSZ	77.2	203	ePgD	16:10:12.70	0.34
			eSg	10:22.70	-0.40
CRVS	93.4	66	ePg	16:10:15.00	-0.25
			eSg	10:27.10	-1.16
VYHS	108.7	266	ePg	16:10:18.40	0.40
			eSg	10:32.10	-1.04
KOLS	150.7	74	eSn	16:10:45.60	1.06

42.

2007-07-27 time: 6:03:10.91 UTC ML= 6.1
lat: 46.239N lon: 16.891E h= 6.1 km
erh= 2.8km erz= 2.6km
nr= 21 gap=137 rms=0.88
Locality: Croatia
Comments:

sta	dist	azm	phase	hr mn sec	res
BEHE	27.2	341	ePgD	6:03:16.40	0.52
			eSg	03:19.50	-0.26
KOGS	54.5	295	iPg	6:03:20.60	-0.10
			eSg	03:27.10	-1.24
GOLS	101.1	255	iPgC	6:03:28.60	-0.39
GCIS	106.1	247	ePg	6:03:29.70	-0.19
			eSg	03:44.20	-0.50
RHK3	112.3	110	ePgC	6:03:31.20	0.20
			eSg	03:47.70	1.04
LEGS	125.9	255	iPn	6:03:32.70	-0.15
PKSM	135.1	91	ePnC	6:03:33.60	-0.40
			eSn	03:52.80	0.79
PKST	143.1	38	ePnC	6:03:34.50	-0.50
			eSn	03:51.30	-2.50
PDKS	147.3	263	ePn	6:03:35.70	0.18
ARSA	153.5	317	Pn	6:03:37.50	1.21
PKSG	171.8	42	ePnC	6:03:36.70	-1.88
			eSn	04:06.10	5.93
OBKA	182.7	279	Pn	6:03:40.50	0.57
			Sn	04:03.60	1.03
CONA	203.4	337	Pn	6:03:44.60	2.08
PENC	250.6	47	eSn	6:04:30.00	12.35
PSZ	294.8	51	ePn	6:04:02.20	8.29
			eSn	04:39.60	12.15



43.

2007-07-27 time: 8:40:56.29 UTC ML= 7.0
lat: 47.199N lon: 18.261E h= 7.0 km
erh= 8.3km erz=10.7km
nr= 5 gap=141 rms=0.12
Locality: Csór
Comments:

Földrengés paraméterek

sta	dist	azm	phase	hr mn sec	res
PKST	18.4	291	ePgD	8:40:59.70	-0.11
			eSg	41:02.80	0.24
PKSG	23.6	25	eSg	8:41:04.10	0.00
PKSM	113.5	165	ePn	8:41:16.70	0.13
			eSn	41:32.30	-0.10

44.

2007-07-29 time: 0:28:32.07 UTC ML= 1.8
lat: 45.996N lon: 20.537E h= 6.0 km
erh= 3.3km erz= 1.7km
nr= 12 gap=163 rms=0.40
Locality: Romania
Comments:

sta	dist	azm	phase	hr mn sec	res
BZS	94.0	117	iPg	0:28:48.80	-0.08
PKS6	100.5	312	iPgD	0:28:50.60	0.55
			Sg	29:03.50	-0.58
PKSM	148.5	279	ePn	0:28:56.70	-0.15
			eSn	29:16.40	0.21
PKS7	157.5	318	PnD	0:28:57.20	-0.77
			Sn	29:18.70	0.53
GZR	186.9	111	iPn	0:29:01.60	-0.04
DRGR	189.2	62	iPn	0:29:02.20	0.28
PENC	221.2	334	ePnC	0:29:05.80	-0.12
PKSG	225.8	313	ePn	0:29:05.90	-0.60
PKST	237.5	306	ePnD	0:29:07.90	-0.06

45.

2007-07-31 time: 6:55:44.25 UTC ML= 10.0
lat: 46.481N lon: 17.874E h= 10.0 km
erh= 3.3km erz= 3.5km
nr= 26 gap=113 rms=1.23
Locality: Somodor
Comments:

sta	dist	azm	phase	hr mn sec	res
PKSM	66.3	117	ePgC	6:55:55.10	-1.11
			eSg	56:05.90	0.35
RHK3	72.1	156	iPgD	6:55:57.80	0.56
			eSg	56:07.60	0.22
BEHE	84.4	269	ePgD	6:55:58.90	-0.52
			eSg	56:11.20	-0.05
PKST	87.3	8	ePg	6:55:59.60	-0.34
			eSg	56:13.20	1.02
PKSG	108.6	21	ePnC	6:56:02.80	-0.74
			eSn	56:17.40	-1.19
BUD	141.7	38	ePnD	6:56:08.30	0.63
			eSn	56:26.40	0.46
SOP	166.8	323	eSn	6:56:35.00	3.48
PENC	180.5	36	ePnC	6:56:12.00	-0.51
			eSn	56:37.80	3.24
ARSA	198.6	296	Pn	6:56:11.70	-3.06
			Sn	56:33.90	-4.66
ZST	199.4	343	iPn	6:56:14.80	-0.06
MODS	215.1	348	iPn	6:56:16.60	-0.23
PSZ	221.3	44	ePnD	6:56:17.80	0.21
			eSn	56:50.30	6.69
CONA	221.6	317	Pn	6:56:18.10	0.47
			Sn	56:41.00	-2.68
VYHS	235.2	18	ePn	6:56:19.90	0.57
KOLL	236.5	10	ePn	6:56:19.30	-0.20
OBKA	255.3	271	Pn	6:56:24.50	2.67
			Sn	56:56.50	5.35
KECS	297.1	41	ePn	6:56:24.70	-2.35
DIVS	312.7	148	Pn	6:56:28.37	-0.62

46.

2007-07-31 time: 8:41:55.25 UTC ML= 6.9
lat: 47.362N lon: 18.375E h= 6.9 km
erh=21.4km erz=14.5km
nr= 5 gap=151 rms=0.36
Locality: Gánt
Comments: probably explosion

Földrengés paraméterek

67.

2007-10-01 time: 12:12:22.50 UTC ML=
lat: 47.875N lon: 19.397E h= 0.0 km
erh= ***km erz= ***km
nr= 6 gap=140 rms=0.88
Locality: Bercel
Comments: probably explosion

sta dist azm phase hr mn sec res
PENC 12.8 223 ePgC 12:12:24.70 -0.08
eSg 12:26.70 0.14
PSZ 37.5 83 ePgC 12:12:28.80 -0.40
eSg 12:34.50 0.08
VYHS 80.5 329 ePg 12:12:38.00 1.13
eSg 12:45.50 -2.58

68.

2007-10-03 time: 10:46:31.67 UTC ML=
lat: 47.872N lon: 19.410E h= 0.0 km
erh= ***km erz= ***km
nr= 6 gap=145 rms=0.71
Locality: Bercel
Comments: probably explosion

sta dist azm phase hr mn sec res
PENC 13.2 227 ePgC 10:46:33.80 -0.24
eSg 46:36.40 0.52
PSZ 36.6 82 ePgC 10:46:37.90 -0.30
eSg 46:43.50 0.21
VYHS 81.3 328 ePg 10:46:47.20 1.01
eSg 46:55.10 -2.41

69.

2007-10-10 time: 11:28:37.09 UTC ML=
lat: 47.942N lon: 19.371E h= 0.0 km
erh= ***km erz= ***km
nr= 7 gap=127 rms=0.83
Locality: Magyarnádor
Comments: probably explosion

sta dist azm phase hr mn sec res
PENC 18.1 202 ePgD 11:28:40.00 -0.32
eSg 28:44.60 1.77
PSZ 39.2 94 ePgC 11:28:43.90 -0.20
eSg 28:49.60 0.04
VYHS 73.2 327 ePg 11:28:52.90 2.74
eSg 29:00.60 0.25
KOLL 100.9 315 eSg 11:29:08.40 -0.78

70.

2007-10-11 time: 9:52:58.51 UTC ML=
lat: 47.193N lon: 18.296E h= 0.0 km
erh= 1.2km erz= 300km
nr= 6 gap=149 rms=0.18
Locality: Székesfehérvár
Comments: probably explosion

sta dist azm phase hr mn sec res
PKST 21.2 290 ePgD 9:53:02.20 -0.10
eSg 53:05.30 0.05
PKSG 23.3 18 ePgC 9:53:02.60 -0.07
eSg 53:05.90 -0.01
PKSM 112.2 166 ePgC 9:53:18.80 0.26
eSg 53:33.50 -0.67

71.

2007-10-12 time: 8:43:49.51 UTC ML=
lat: 47.367N lon: 18.243E h= 8.0 km
erh= 1.3km erz= 0.7km
nr= 5 gap=203 rms=0.05
Locality: Mór
Comments:

Hypocenter Parameters

sta	dist	azm	phase	hr	mn	sec	res
PKSG	11.5	76	ePgD	8:43:52.00			-0.01
			eSg	43:53.90			-0.05
PKST	19.8	233	ePgD	8:43:53.40			0.06
			eSg	43:56.20			-0.11
PKSM	131.9	167	eSn	8:44:29.50			0.00

72.

2007-10-12 time: 8:54:46.82 UTC ML=
lat: 47.390N lon: 18.230E h= 9.5 km
erh= 1.1km erz= 0.5km
nr= 5 gap=224 rms=0.10
Locality: Mór
Comments:

sta	dist	azm	phase	hr	mn	sec	res
PKSG	12.1	89	ePgD	8:54:49.60			0.03
			eSg	54:51.60			-0.12
PKST	20.8	225	ePgD	8:54:51.00			0.10
			eSg	54:53.90			-0.19
PKSM	134.7	167	eSn	8:55:27.00			-0.08

73.

2007-10-12 time: 8:57:16.34 UTC ML=
lat: 47.383N lon: 18.229E h= 3.4 km
erh= ---km erz= ---km
nr= 4 gap=218 rms=0.02
Locality: Mór
Comments:

sta	dist	azm	phase	hr	mn	sec	res
PKSG	12.3	85	ePgD	8:57:18.60			-0.01
			eSg	57:20.40			0.02
PKST	20.1	227	ePgD	8:57:20.00			0.01
			eSg	57:22.80			-0.03

74.

2007-10-12 time: 13:57:01.77 UTC ML=
lat: 47.412N lon: 18.207E h= 1.2 km
erh= ---km erz= ---km
nr= 4 gap=242 rms=0.10
Locality: Pusztavám
Comments:

sta	dist	azm	phase	hr	mn	sec	res
PKSG	14.1	99	ePgC	13:57:04.30			0.01
			eSg	57:06.10			-0.16
PKST	21.4	217	ePgD	13:57:05.70			0.10
			eSg	57:08.40			-0.19

75.

2007-10-12 time: 19:19:12.07 UTC ML=
lat: 47.347N lon: 18.256E h= 7.6 km
erh= ---km erz= ---km
nr= 4 gap=184 rms=0.00
Locality: Csókakő
Comments:

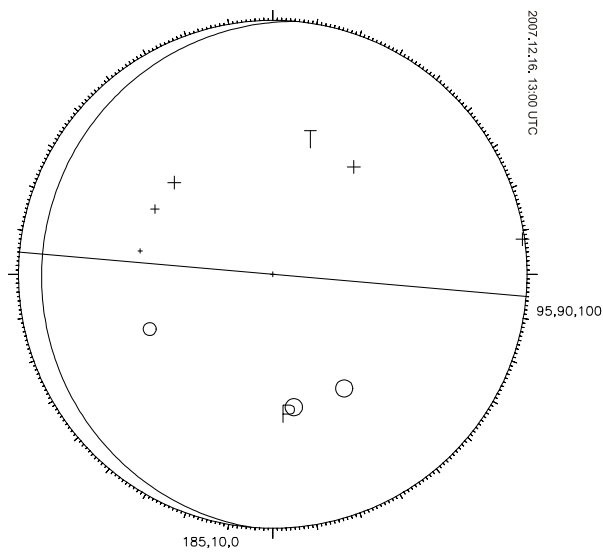
sta	dist	azm	phase	hr	mn	sec	res
PKSG	11.3	64	ePgD	19:19:14.50			0.00
			eSg	19:16.40			0.00
PKST	19.4	240	ePgD	19:19:15.80			0.00
			eSg	19:18.70			0.00

76.

2007-10-13 time: 3:42:43.82 UTC ML=
lat: 47.285N lon: 18.306E h= 1.0 km
erh= ---km erz= ---km
nr= 4 gap=234 rms=0.07
Locality: Magyaralmás
Comments:

sta	dist	azm	phase	hr	mn	sec	res
-----	------	-----	-------	----	----	-----	-----

Hypocenter Parameters



89.

2007-12-18 time: 3:27:34.50 UTC ML=
lat: 48.772N lon: 19.671E h= 10.0 km
erh= ---km erz= ---km
nr= 3 gap=332 rms=0.00
Locality: Slovakia
Comments:

sta	dist	azm	phase	hr mn	sec	res
PSZ	96.4	170	ePgD	3:27:51.80	0.00	
PENC	112.9	195	eSn	3:28:09.80	0.00	
BUD	151.1	199	ePnC	3:27:59.10	0.00	

90.

2007-12-21 time: 22:46:24.70 UTC ML=
lat: 47.366N lon: 18.263E h= 9.7 km
erh= 0.8km erz= 0.4km
nr= 5 gap=198 rms=0.04
Locality: Csókakő
Comments:

sta	dist	azm	phase	hr mn	sec	res
PKSG	10.1	74	ePgD	22:46:27.20	0.00	
			eSg	46:29.10	-0.05	
PKST	21.0	235	ePgD	22:46:28.90	0.07	
			eSg	46:32.00	-0.05	

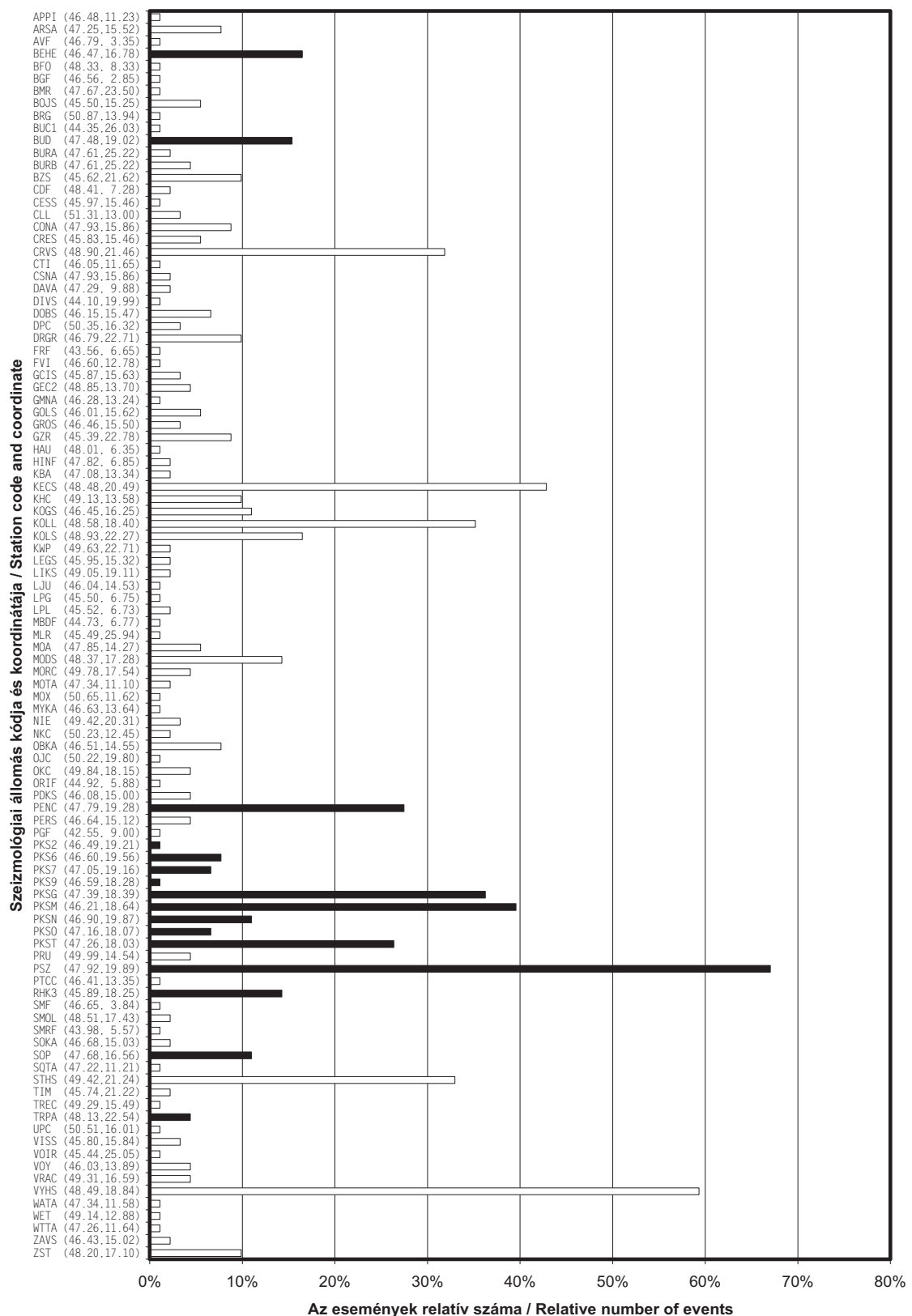
Földrengés paraméterek

PKSM 131.6 167 eSn 22:47:04.20 -0.02

91.

2007-12-26 time: 6:10:33.03 UTC ML=
lat: 45.729N lon: 17.407E h= 16.6 km
erh= 4.4km erz= 5.0km
nr= 19 gap=187 rms=0.50
Locality: Croatia
Comments:

sta	dist	azm	phase	hr mn	sec	res
RHK3	68.0	75	ePg	6:10:45.80	0.27	
			eSg	10:56.10	0.82	
BEHE	95.8	329	eP*	6:10:50.10	0.31	
			eS*	11:02.60	-0.27	
PKSM	109.7	61	ePn	6:10:51.70	0.08	
			eSn	11:05.90	-0.22	
KOGS	120.0	312	iPn	6:10:52.70	-0.20	
			iSn	11:06.90	-1.51	
GCIS	139.2	276	iPn	6:10:55.10	-0.20	
			iSn	11:12.30	-0.38	
GOLS	141.9	283	iPn	6:10:55.60	-0.04	
			iSn	11:14.90	1.62	
CRES	152.1	274	iPn	6:10:56.80	-0.10	
			eSn	11:16.30	0.77	
CESS	153.4	280	iPn	6:10:57.10	0.03	
			eSn	11:17.30	1.47	
DOBS	157.4	287	ePn	6:10:57.10	-0.47	
LEGS	164.2	279	ePn	6:10:58.20	-0.21	
			eSn	11:20.20	1.99	
GROS	168.3	299	iPn	6:10:58.50	-0.43	
BOJS	170.0	262	iPn	6:10:59.40	0.27	
			iSn	11:21.20	1.70	
PDKS	191.0	282	iPn	6:11:05.70	3.94	
VISS	199.9	272	iPn	6:11:03.00	0.13	
PERS	203.6	300	iPn	6:11:03.00	-0.32	
ARSA	222.6	319	Pn	6:11:06.20	0.51	
			Sn	11:36.10	4.93	
SOP	226.8	343	ePn	6:11:09.40	3.18	
			eSn	11:35.80	3.70	
BUD	231.1	32	ePn	6:11:03.50	-3.25	
			eSn	11:41.50	8.44	
OBKA	237.4	291	Pn	6:11:07.90	0.36	
			Sn	11:40.40	5.94	
MOA	336.3	315	Pn	6:11:19.90	0.02	
			Sn	11:55.30	-1.12	
KHC	476.0	323	ePn	6:11:38.80	1.51	
			eSn	12:25.20	-2.21	



3.4. ábra Az egyes állomások részvételé a hipocentrum meghatározásban

Figure 3.4. Contribution of individual stations to the hypocenter determination

4.

JELENTŐS FÖLDRENGÉSEK 2007-BEN (Magyarországon érezhető földrengések)

2007. március 3. - Bő

2007. szeptember 15. - Homokszentgyörgy

2007. november 18. - Hollókő

A MAKROSZEIZMIKUS INTENZITÁS MEGHATÁROZÁSA

A földrengés érezhető és épített környezetben okozott hatásainak összegyűjtése kérdőívek segítségével történt. Az összegyűjtött válaszok alapján került meghatározásra az intenzitás értéke (Zsíros et al, 1990 és Zsíros, 1994).

Az intenzitás leírása az *Európai Makroszeizmikus Skála (EMS)* szerint történik, mely részletesen megtalálható Grünthal (1998) munkájában. (A Melléklet)

4.

SIGNIFICANT EARTHQUAKES IN 2007 (Earthquakes that were felt in Hungary)

- | | | |
|-------------------|---|------------------|
| 3 March 2007 | - | Bő |
| 15 September 2007 | - | Homokszentgyörgy |
| 18 November 2007 | - | Hollókő |

METHOD USED FOR ESTIMATION OF INTENSITY

The earthquake effects (macroseismic observations) were gathered by questionnaires. Based on these reports the intensity values were estimated by a computer algorithm (Zsíros et al, 1990 and Zsíros, 1994).

The assigned intensities correspond to the *European Macroseismic Scale 1998 (EMS)* edited by Grünthal (1998). (APPENDIX A)

2007. március 3. - Bő / 3 March 2007 - Bő

FÉSZEKPARAMÉTEREK / HYPOCENTER PARAMETERS

Dátum / Date:	2007/03/03
Kipattanási idő / Origin Time:	20:35:33.9 UTC
Szélesség és hosszúság / Latitude and Longitude:	47.402 N 16.931 E (S.D. 1.6 km)
Mélység / Depth:	6.4 km (S.D. 1.8 km)
Magnitúdó / Magnitude:	3.0 ML
Maximális intenzitás / Maximum Intensity:	5 EMS

LEÍRÁS

Az év legerősebb magyarországi rengése március 3-án pattant ki a Vas – Veszprém – Győr-Moson-Sopron megyék hármás határa közelében. A $3.0 M_L$ magnitúdójú rengés érezhető volt mintegy 1000 km^2 területen. A legnagyobb megrázottságot (5 EMS) Bő és Chernelházadamonya településekkel jelentették, ahol a rengés jelentéktelen épület károkát (hajszálrepedések a falakban) is okozott.

Az esemény szeizmogramja a 4.1. ábrán látható.

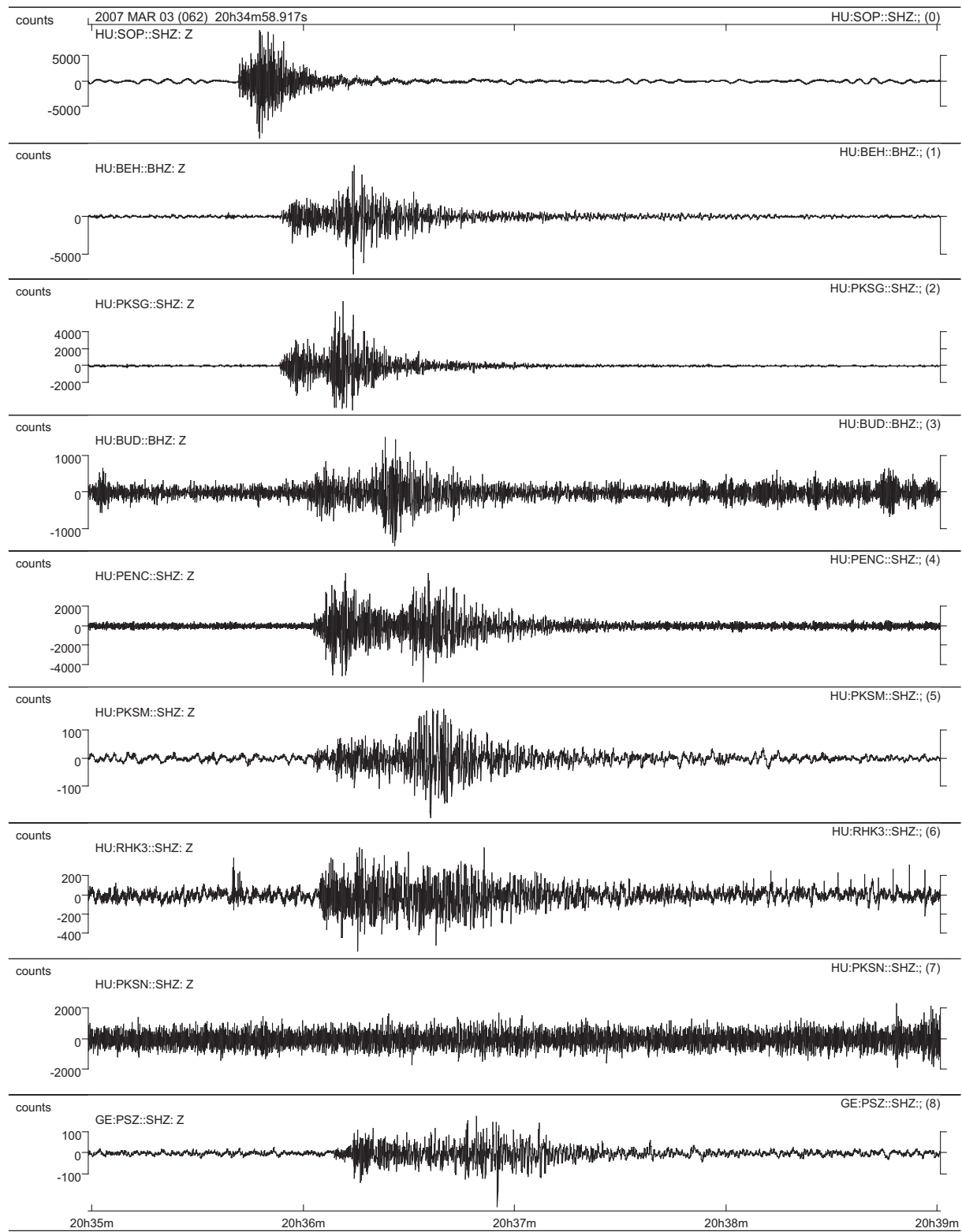
A rengés intenzitás eloszlását a 4.1. táblázat tartalmazza és a 4.2. ábra mutatja.

DISCUSSION

The highest magnitude ($3.0 M_L$) earthquake of the year was reported from the border region of Vas – Veszprém – Győr-Moson-Sopron counties on March 3rd. The earthquake was felt in an area of about 1000 km^2 in W Hungary. The highest intensity values (5 EMS) were reported from Bő and Chernelházadamonya. Minor damage (small cracks in walls) was reported from the epicenter area.

Seismograms of the event are shown in Figure 4.1.

The intensity distribution of the event is shown in Table 4.1 and Figure 4.2.



4.1. ábra A 2007. március 3-i, bői földrengés (20:35 UTC) szeizmogramjai

Figure 4.1. Seismograms of the Bő earthquake 3rd March 2007 (20:35 UTC)

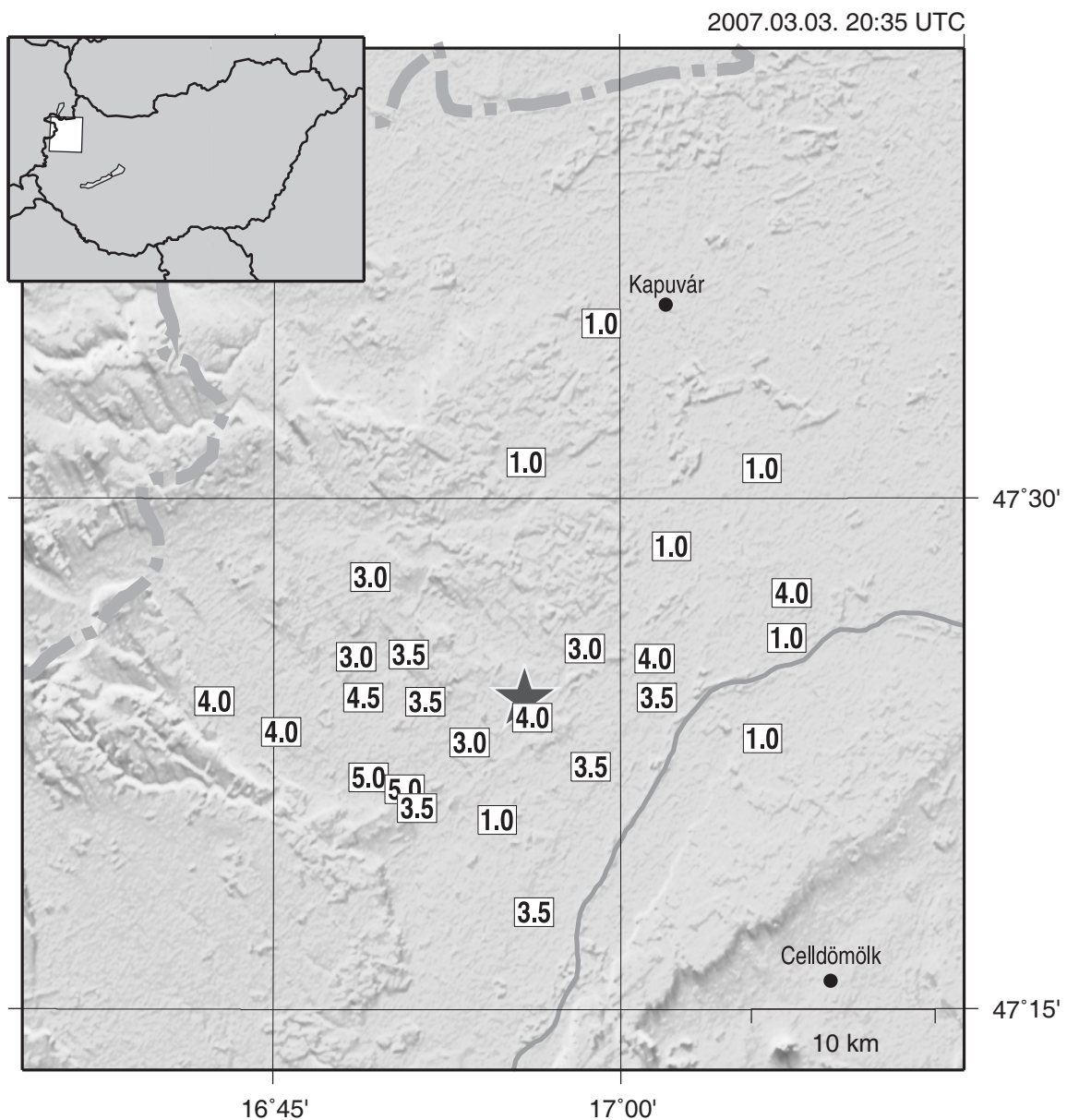
4.1. Táblázat

A 2007. március 3-i, bői földrengés (20:35 UTC) intenzitás eloszlása

Table 4.1.

Intensity distribution of the Bő earthquake 3rd March 2007 (20:35 UTC)

Helység / Location		Koordináta Coordinates		I Intenzitás Intensity	R Rel. megbízhatóság Rel. reliability	N Jelentések száma No. of reports
		Szélesség Latitude (N)	Hosszúság Longitude (E)			
1	Bő	47.364	16.818	5.0	50%	1
2	Bük	47.386	16.755	4.0	48%	1
3	Chernelházadamonya	47.358	16.844	5.0	50%	1
4	Cirák	47.477	17.036	1.0	0%	2
5	Csapod	47.518	16.931	1.0	0%	1
6	Csepreg	47.401	16.707	4.0	29%	1
7	Iklandberény	47.423	16.809	3.0	26%	1
8	Kenyeri	47.383	17.101	1.0	0%	1
9	Lócs	47.403	16.814	4.5	33%	1
10	Mihályi	47.515	17.101	1.0	0%	1
11	Nagygeresd	47.393	16.936	4.0	49%	1
12	Nick	47.403	17.026	3.5	35%	1
13	Rábakecöl	47.432	17.119	1.0	0%	1
14	Rábapaty	47.298	16.937	3.5	41%	1
15	Répcelak	47.422	17.024	4.0	38%	4
16	Répceszemere	47.427	16.974	3.0	39%	1
17	Répceszenthgyörgy	47.349	16.853	3.5	38%	1
18	Sajtoskál	47.401	16.859	3.5	34%	2
19	Simaság	47.424	16.847	3.5	35%	1
20	Tompaládony	47.381	16.891	3.0	39%	1
21	Uraiújfalu	47.369	16.978	3.5	34%	1
22	Újkér	47.462	16.819	3.0	38%	1
23	Vásárosfalu	47.454	17.123	4.0	34%	1
24	Vitnyéd	47.586	16.985	1.0	0%	1
25	Zsédeny	47.343	16.910	1.0	0%	1



4.2. ábra A 2007. március 3-i, bői földrengés (20:35 UTC) intenzitás eloszlása (a csillag a műszeresen meghatározott epicentrumot jelöli)

Figure 4.2. Intensity distribution of the Bő earthquake
3rd March 2007 (20:35 UTC)
(star - instrumental epicentre)

**2007. szeptember 15. - Homokszentgyörgy /
15 September 2007 - Homokszentgyörgy****FÉSZEKPARAMÉTEREK / HYPOCENTER PARAMETERS**

Dátum / Date:	2007/09/15
Kipattanási idő / Origin Time:	04:39:33.9 UTC
Szélesség és hosszúság / Latitude and Longitude:	46.000 N 17.575 E (S.D. 5.4 km)
Mélység / Depth:	10 km (S.D. 4.4 km)
Magnitúdó / Magnitude:	2.7 ML
Maximális intenzitás / Maximum Intensity:	4-5 EMS

LEÍRÁS

Szeptember 15-én hajnalban 2.7 M_L magnitúdójú földrengés keltett riadalmat Somogy megyében, a Dráva közelében. A rengés intenzitása 4-5 EMS fokra becsülhető (Homokszentgyörgy). A rengés csak viszonylag kis területen ($100-200 \text{ km}^2$) volt érezhető.

Az esemény szeizmogramja a 4.3. ábrán látható.

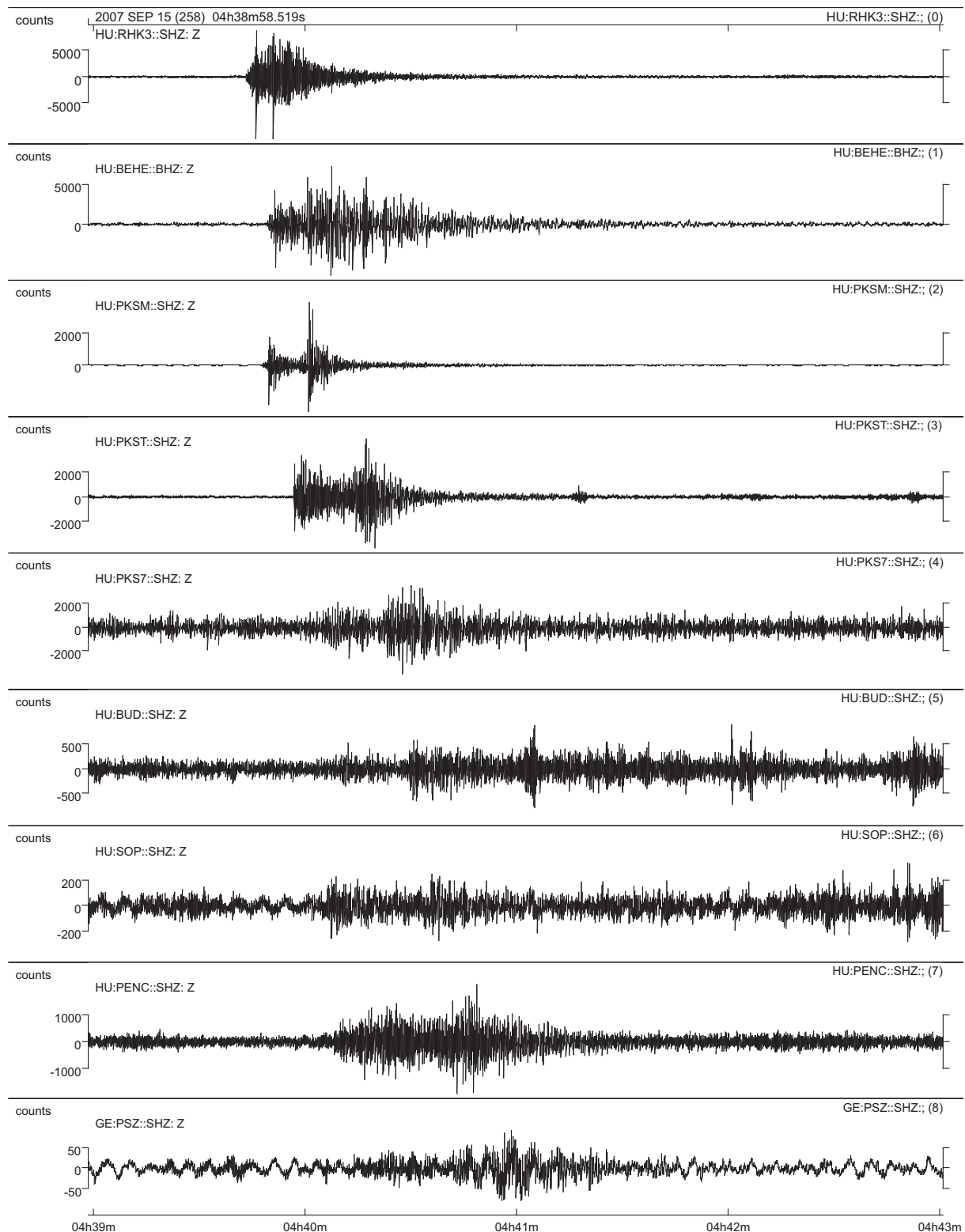
A rengés intenzitás eloszlását a 4.2. táblázat tartalmazza és a 4.4. ábra mutatja.

DISCUSSION

On September 15th early morning, a 2.7 M_L magnitude earthquake alarmed people in Somogy County near the Drava River. The shock was felt in a relatively small area of $100-200 \text{ km}^2$ and produced reports of 4-5 EMS from Homokszentgyörgy.

Seismograms of the event are shown in Figure 4.3.

The intensity distribution of the event is shown in Table 4.2 and Figure 4.4.



4.3. ábra A 2007. szeptember 15-i, homokszentgyörgyi földrengés (04:39 UTC) szeizmogramjai

Figure 4.3. Seismograms of the Homokszentgyörgyi earthquake
15th September 2007 (04:39 UTC)

4.2. Táblázat

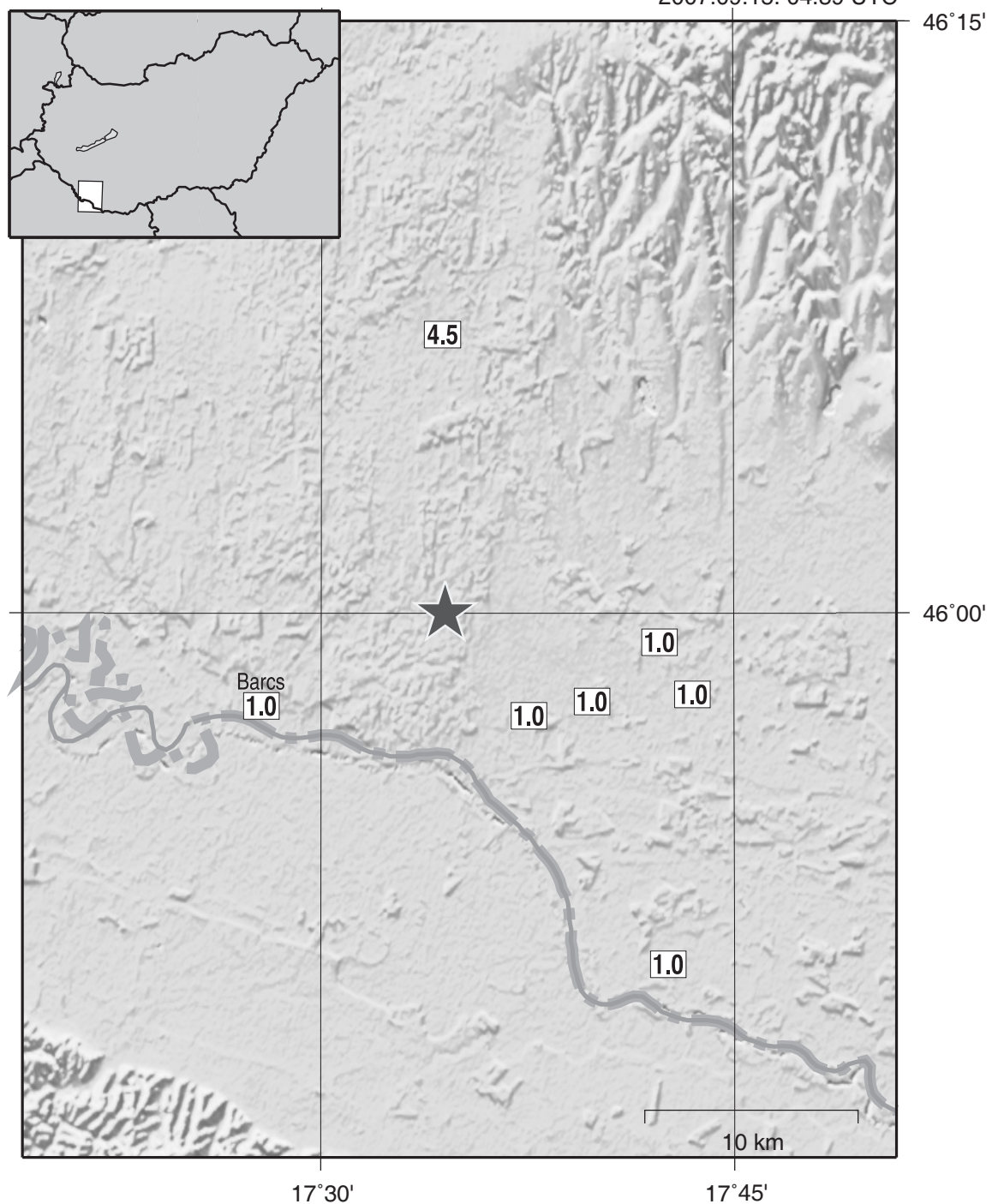
A 2007. szeptember 15-i, homokszentgyörgyi földrengés (04:39 UTC) intenzitás eloszlása

Table 4.2.

Intensity distribution of the Homokszentgyörgy earthquake 15th September 2007 (04:39 UTC)

Helység / Location		Koordináta Coordinates		I Intenzitás Intensity	R Rel. megbízhatóság Rel. reliability	N Jelentések száma No. of reports
		Szélesség Latitude (N)	Hosszúság Longitude (E)			
1	Barcs	45.961	17.463	1.0	0%	2
2	Felsőszentmárton	45.852	17.709	1.0	0%	1
3	Gyöngyösmellék	45.988	17.704	1.0	0%	1
4	Homokszentgyörgy	46.118	17.573	4.5	37%	1
5	Kastélyosdombó	45.957	17.625	1.0	0%	1
6	Kétújfalu	45.966	17.724	1.0	0%	1
7	Zádor	45.963	17.663	1.0	0%	1

2007.09.15. 04:39 UTC



4.4. ábra A 2007. szeptember 15-i, homokszentgyörgyi földrengés (04:39 UTC) intenzitás eloszlása (a csillag a műszeresen meghatározott epicentrumot jelöli)

Figure 4.4. Intensity distribution of the Homokszentgyörgy earthquake
15th September 2007 (04:39 UTC)
(star - instrumental epicentre)

2007. november 18. - Hollókő / 18 November 2007 - Hollókő**FÉSZEKPARAMÉTEREK / HYPOCENTER PARAMETERS**

Dátum / Date:	2007/11/18
Kipattanási idő / Origin Time:	14:22:38.3 UTC
Szélesség és hosszúság / Latitude and Longitude:	48.033 N 19.552 E (S.D. 1.7 km)
Mélység / Depth:	3.4 km (S.D. 1.7 km)
Magnitúdó / Magnitude:	3.0 ML
Maximális intenzitás / Maximum Intensity:	4 EMS

LEÍRÁS

Viszonylag kis területen ($200-250 \text{ km}^2$) volt érezhető november 18-án Nógrád megyében Hollókő környékén egy $3.0 M_L$ magnitúdójú földrengés, melynek legnagyobb becsült intenzitása 4 EMS volt.

Az esemény szeizmogramja a 4.5. ábrán látható.

A rengés intenzitás eloszlását a 4.3. táblázat tartalmazza és a 4.6. ábra mutatja.

DISCUSSION

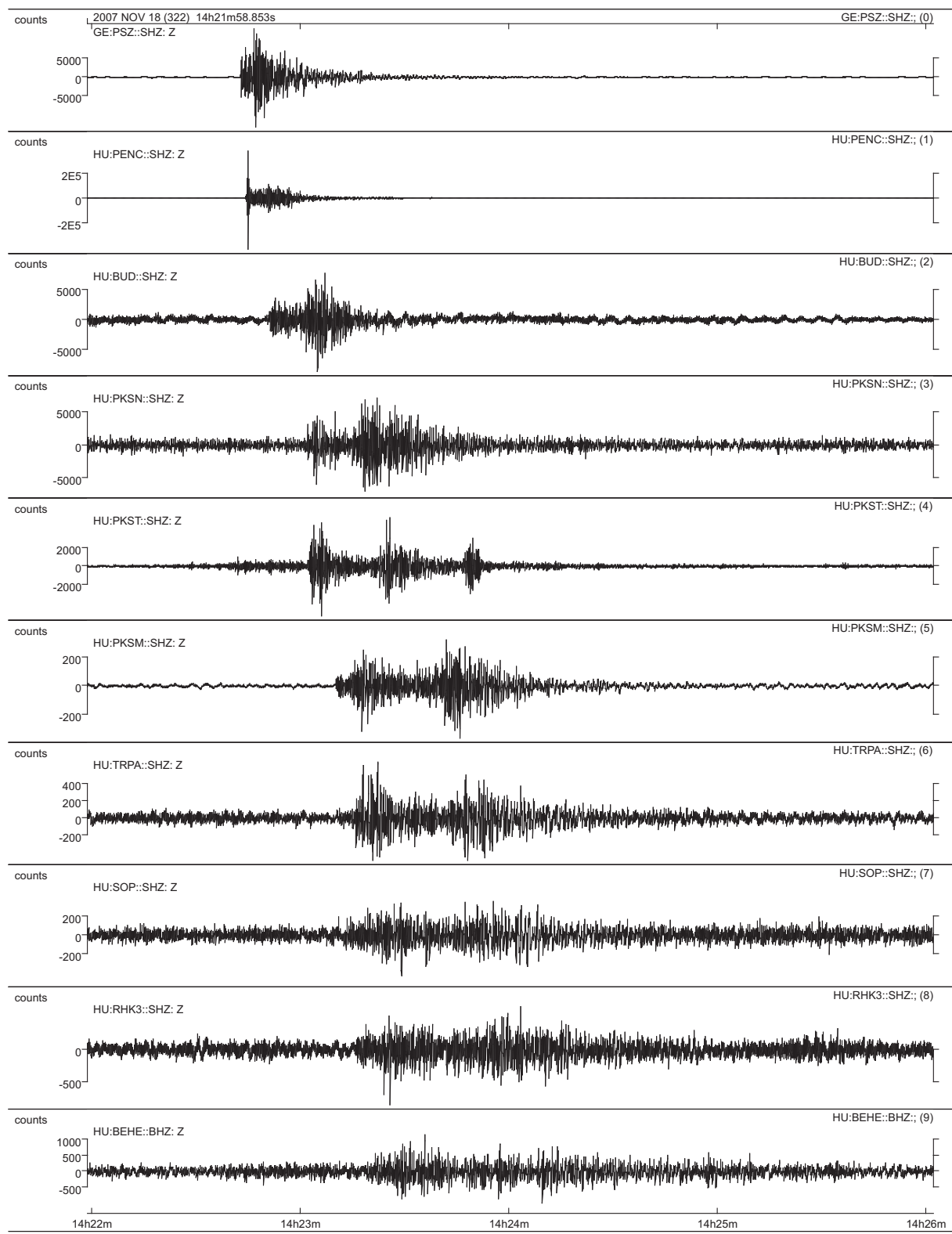
A $3.0 M_L$ magnitude event was felt and reported from Nógrád county (Hollókő, 4 EMS). The earthquake was felt in a relatively small area of $200-250 \text{ km}^2$.

Seismograms of the event are shown in Figure 4.5.

The intensity distribution of the event is shown in Table 4.3 and Figure 4.6.

Jelentős földrengések

Significant Earthquakes



4.5. ábra A 2007. november 18-i, hollókői földrengés (14:22 UTC) szeizmogramjai

Figure 4.5. Seismograms of the Hollókő earthquake 18th November 2007 (14:22 UTC)

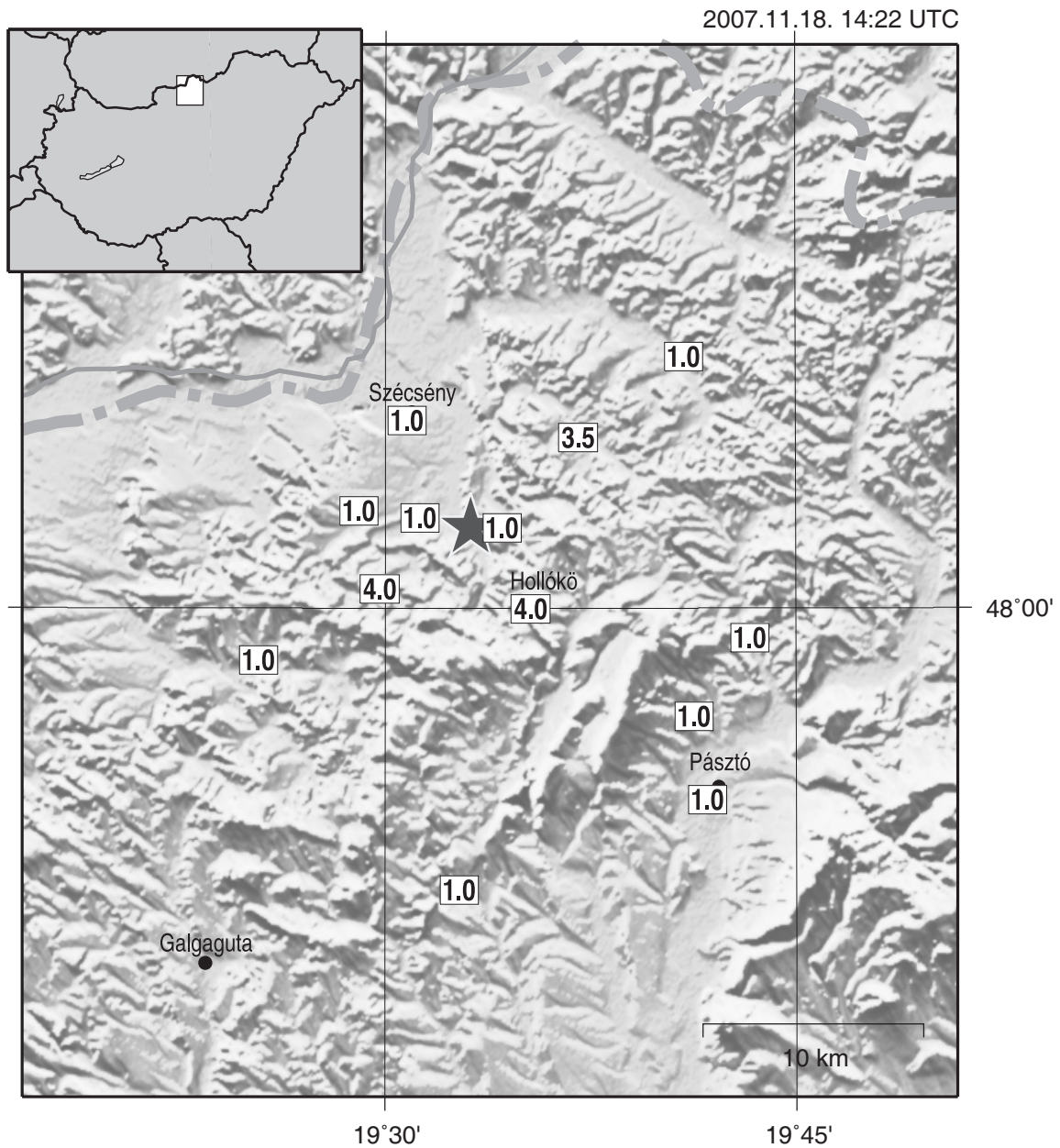
4.3. Táblázat

A 2007. november 18-i, hollókői földrengés (14:22 UTC) intenzitás eloszlása

Table 4.3.

Intensity distribution of the Hollókő earthquake 18th November 2007 (14:22 UTC)

	Helység / Location	Koordináta Coordinates		I Intenzitás Intensity	R Rel. megbízhatóság Rel. reliability	N Jelentések száma No. of reports
		Szélesség Latitude (N)	Hosszúság Longitude (E)			
1	Buják	47.885	19.544	1.0	0%	1
2	Cserhátsurány	47.979	19.422	1.0	0%	2
3	Hollókő	48.000	19.588	4.0	42%	1
4	Mátraszölös	47.956	19.687	1.0	0%	1
5	Nagylóc	48.033	19.570	1.0	0%	1
6	Nógrádmegyer	48.070	19.617	3.5	41%	1
7	Nógrádsipek	48.008	19.496	4.0	49%	1
8	Pásztó	47.922	19.695	1.0	0%	1
9	Rimóc	48.037	19.520	1.0	0%	1
10	Ságújfalu	48.103	19.681	1.0	0%	1
11	Sámsonháza	47.988	19.721	1.0	0%	1
12	Szécsény	48.077	19.512	1.0	0%	1
13	Varsány	48.040	19.483	1.0	0%	1



4.6. ábra A 2007. november 18-i, hollókői földrengés (14:22 UTC) intenzitás eloszlása
(a csillag a műszeresen meghatározott epicentrumot jelöli)

Figure 4.6. Intensity distribution of the Hollókő earthquake
18th November 2007 (14:22 UTC)
(star - instrumental epicentre)

HIVATKOZÁSOK / REFERENCES

- Bakun, W.H. and W.B. Joyner, 1984. The MI scale in central California. Bull. Seismol. Soc. Am., 74, 1827-1843
- Grünthal, G. (editor), 1998. European Macroseismic Scale 1998. Conseil de L'Europe, Luxembourg, 1998. pp. 99.
- Lee, W.H.K. and J.C. Lahr, 1975. HYPO71 (Revised): A computer program for determining hypocenter, magnitude, and first motion pattern of local earthquakes. U. S. Geological Survey Open-file report 75-311.
- Mónus, P., 1995. Travel time curves and crustal velocity model for the Pannonian basin. MTA GGKI Technical report
- Reasenberg, P.A. and D. Oppenheimer, 1985. FPFIT, FPPILOT and FPPAGE: Fortan computer programs for calculating and displaying earthquake fault-plane solutions, USGS Open File Report No. 85-739.
- Tóth, L. and P. Mónus, 1997. The micro-seismic monitoring network of the Paks NPP, in: Seismic Safety of the Paks Nuclear Power Plant, Akadémiai Kiadó, Budapest, 1997, pp. 113-121.
- Tóth, L., P. Mónus, T. Zsíros and M. Kiszely, 2002a. A Pannon-medence szeizmicitása, Földtani Közlöny 132/különszám, 327-337
- Tóth, L., P. Mónus, T. Zsíros and M. Kiszely, 2002b. Seismicity in the Pannonian Region - earthquake data, EGU Stephan Mueller Special Publication Series, 3, 9-28
- Zsíros, T., P. Mónus and L. Tóth, 1990. Computer estimation of intensities; the 1985 Berhida, Hungary, earthquake, PAGEOPH, 132, 533-543.
- Zsíros, T., 1994. Macroseismic observations in Hungary (1989-1993), Seismological Observatory, Geodetic and Geophysical Research Institute, Budapest, 1994. pp. 44.

A MELLÉKLET

EURÓPAI MAKROSZEIZMIKUS SKÁLA (EMS)

1 ⚡ Nem érezhető

Nem érezhető, még a legkedvezőbb körülmények között sem.

2 ⚡ Alig érezhető

A rezgést csak egy-egy, elsősorban fekvő ember érzi, különösen magas épületek felsőbb emeletein.

3 ⚡ Gyenge

A rezgés gyenge, néhány ember érzi, főleg épületen belül. A fekvő emberek lengést vagy gyenge remegést éreznek.

4 ⚡ Széles körben érezhető

A rengést épületen belül sokan érzik, a szabadban kevesen. Néhány ember felébred. A rezgés mértéke nem ijesztő. Ablakok, ajtók, edények megcsörrennek, felfüggesztett tárgyak lengenek.

5 ⚡ Erős

A rengést épületen belül a legtöbben érzik, a szabadban csak néhányan. Sok alvó ember felébred, néhányan a szabadba menekülnek. Az egész épület remeg, a felfüggesztett tárgyak nagyon lengenek. Tányérok, poharak összekoccannak. A rezgés erős. Felül nehéz tárgyak felborulnak. Ajtók, ablakok kinyílanak vagy bezáródnak.

6 ⚡ Kisebb károkat okoz

Épületen belül szinte mindenki, szabadban sokan érzik. Épületben tartózkodók közül sokan megijednek, és a szabadba menekülnek. Kisebb tárgyak leesnek. Hagyományos épületek közül sokban keletkezik kisebb kár, hajszálrepedés a vakolatban, kisebb vakolatdarabok lehullanak.

7 ⚡ Károkat okozó

A legtöbb ember megrémül, és a szabadba menekül. Bútorok elmozdulnak, a polcokról sok tárgy leesik. Sok hagyományos épület szenved mérsékelt sérülést: kisebb repedések keletkeznek a falakban, kémények ledölnek.

8 ⚡ Súlyos károkat okozó

Bútorok felborulnak. Sok hagyományos épület megsérül: kémények ledölnek, a falakban nagy repedések keletkeznek, néhány épület részlegesen összedől.

9 ⚡ Pusztító

Oszlopok, műemlékek ledölnek vagy elfordülnek. Sok hagyományos épület részlegesen, néhány teljesen rombadó.

10 ⚡ Nagyon pusztító

Sok hagyományos épület összedől.

11 ⚡ Elsöprő

A legtöbb épület összedől.

12 ⚡ Teljesen elsöprő

Gyakorlatilag minden építmény megsemmisül.

(Részletesen lásd: Grünthal, 1998)

APPENDIX A

EUROPEAN MACROSEISMIC SCALE (EMS)

1 ⚡ Not felt

Not felt, even the most favourable circumstances.

2 ⚡ Scarcely felt

Vibration is felt only by individual people at rest in houses, especially on upper floors of buildings.

3 ⚡ Weak

The vibration is weak and is felt indoors by a few people. People at rest feel a swaying or light trembling.

4 ⚡ Largely observed

The earthquake is felt indoors by many people, outdoors by very few. A few people are awakened. The level of vibration is not frightening. Windows, doors and dishes rattle. Hanging objects swing.

5 ⚡ Strong

The earthquake is felt indoors by most, outdoors by few. Many sleeping people awake. A few run outdoors. Buildings tremble throughout. Hanging objects swing considerably. China and glasses clatter together. The vibration is strong. Top heavy objects topple over. Doors and windows swing open or shut.

6 ⚡ Slightly damaging

Felt by most indoors and many outdoors. Many people in buildings are frightened and run outdoors. Small objects fall. Slight damage to many ordinary buildings eg. fine cracks in plaster and small pieces of plaster fall.

7 ⚡ Damaging

Most people are frightened and run outdoors. Furniture is shifted and objects fall from shelves in large numbers. Many ordinary buildings suffer moderate damage: small cracks in walls, partial collapse of chimneys.

8 ⚡ Heavily damaging

Furniture may be overturned. Many ordinary buildings suffer damage: chimneys fall, large cracks appear in walls and few buildings may partially collapse.

9 ⚡ Destructive

Monuments and columns fall or are twisted. Many ordinary buildings partially collapse and few collapse completely.

10 ⚡ Very destructive

Many ordinary buildings collapse.

11 ⚡ Devastating

Most ordinary buildings collapse.

12 ⚡ Completely devastating

Practically all structures above and below ground are heavily damaged or destroyed.

(For details see Grünthal, 1998)

B MELLÉKLET

A VILÁG JELENTŐS FÖLDRENGÉSEI

2007

Forrás:

*U.S. Geological Survey
National Earthquake Information Center
(USGS - NEIC)*

APPENDIX B

SIGNIFICANT EARTHQUAKES OF THE WORLD

2007

Source:

*U.S. Geological Survey
National Earthquake Information Center
(USGS - NEIC)*

Halálos áldozatot követelő földrengések a világon 2007-ben**Deaths from Earthquakes in 2007**

Dátum Date	Ország, terület Region	Magnitúdó Magnitude	Áldozatok száma Number killed
2007 01 21	Molucca Sea	7.5	4
2007 03 06	Southern Sumatra, Indonesia	6.4	67
2007 03 25	Honshu, Japan	6.7	1
2007 04 01	Solomon Islands	8.1	54
2007 04 21	Aisen, Chile	6.2	10
2007 06 02	Yunnan, China	6.1	3
2007 07 16	Honshu, Japan	6.6	9
2007 07 21	Tajikistan	5.2	12
2007 08 02	Tatar Strait, Russia	6.2	2
2007 08 15	Central Peru	8.0	514
2007 09 12	Southern Sumatra, Indonesia	8.4	25
2007 10 26	Northwestern Kashmir	5.3	1
2007 11 06	Gujarat, India	5.0	1
2007 11 07	Bohol, Philippines	5.1	1
2007 11 14	Antofagasta, Chile	7.7	2
2007 11 25	Sumbawa region, Indonesia	6.5	3
2007 11 29	Windward Islands	7.4	1
2007 12 09	Minas Gerais, Brazil	4.9	1
2007 12 20	North Island, New Zealand	6.6	1
Összesen / Total			712

A 7.0 vagy annál nagyobb magnitúdójú földrengések a világon 2007-ben**Earthquakes of magnitude 7.0 and greater in 2007**

	Év Year	Hónap Month	Nap Day	Idő Time (UTC)	Szélesség Latitude	Hosszúság Longitude	Mélység Depth (km)	Magnitúdó Magnitude	Ország, terület Region
1.	2007	01	13	04:23:21.1	46.243	154.524	10	8.1	East of the Kuril Islands
2.	2007	01	21	11:27:45.0	1.065	126.282	22	7.5	Molucca Sea
3.	2007	03	25	00:40:01.6	-20.617	169.357	34	7.1	Vanuatu
4.	2007	04	01	20:39:58.7	-8.466	157.043	24	8.1	Solomon Islands
5.	2007	08	01	17:08:51.4	-15.595	167.680	120	7.2	Vanuatu
6.	2007	08	08	17:05:04.9	-5.859	107.419	280	7.5	Java, Indonesia
7.	2007	08	15	23:40:57.8	-13.386	-76.603	39	8.0	Near the Coast of Central Peru
8.	2007	09	02	01:05:18.1	-11.610	165.762	35	7.2	Santa Cruz Islands
9.	2007	09	12	11:10:26.8	-4.438	101.367	34	8.4	Southern Sumatra, Indonesia
10.	2007	09	12	23:49:03.7	-2.625	100.841	35	7.9	Indonesia
11.	2007	09	13	03:35:28.7	-2.130	99.627	22	7.0	Indonesia
12.	2007	09	28	13:38:59.5	22.004	142.651	276	7.4	Volcano Islands, Japan Region
13.	2007	09	30	05:23:34.0	-49.271	164.115	10	7.4	Auckland Islands
14.	2007	10	31	03:30:17.6	18.896	145.363	223	7.2	Northern Mariana Islands
15.	2007	11	14	15:40:50.5	-22.247	-69.890	40	7.7	Antofagasta, Chile
16.	2007	11	29	19:00:19.6	14.973	-61.263	148	7.4	Windward Islands
17.	2007	12	09	07:28:20.8	-25.996	-177.514	153	7.8	South of the Fiji Islands
18.	2007	12	19	09:30:27.2	51.363	-179.522	29	7.1	Aleutian Islands, Alaska

**A 6.5 vagy annál nagyobb magnitúdójú,
és a jelentősebb károkat okozó földrengések a világon 2007-ben**

**Earthquakes of magnitude 6.5 or greater
or ones that caused fatalities, injuries or substantial damage in 2007**

DÁTUM	IDŐ Ó M S	KOORDINÁTA SZÉL SZÉL LAT	MÉLYSÉG HOSSZ LONG	MAG KM	ÁLLOMÁS SZÁM	RÉGIÓ, TOVÁBBI MAGNITÚDÓK, MEGJEGYZÉSEK	
DATE	ORIGIN TIME UTC HR MN SEC	GEOGRAPHIC COORDINATES	DEPTH	MAG	SD NO. STA USED	REGION, ADDITIONAL MAGNITUDES AND COMMENTS	
JAN 13	04 23 21.1	46.243 N	154.524 E	10 G	8.1	1.1	606 EAST OF THE KURIL ISLANDS. MW 8.1 (GCMT), 7.9 (GS), 8.0 (OBN). mb 7.3 (GS). MS 8.2 (GS). ME 8.2 (GS). Mo $7.8 \times 10^{**} 20$ Nm (GS), $1.8 \times 10^{**} 21$ Nm (GCMT), $2.8 \times 10^{**} 21$ Nm (PPT), $1.2 \times 10^{**} 21$ Nm (OBN). Es $4.2 \times 10^{**} 16$ Nm (GS). Felt (VI) on Paramushir; (V) on Iturup and Kunashir; (III) on Shikotan. Felt (IV) at Petropavlovsk-Kamchatskiy. Felt (IV) at Misawa and (II) at Tokyo, Japan. Also felt in parts of Hokkaido and northern Honshu. Recorded (3 JMA) in eastern Hokkaido and in the Shizunai area; (2 JMA) throughout southern Hokkaido and in the Sarufutsu area, Hokkaido. Also recorded (3 JMA) in Aomori, Iwate and Miyagi; (2 JMA) in Akita, Fukushima and Yamagata; (1 JMA) in Hyogo, Ibaraki, Kanagawa, Nagano, Saitama, Tochigi and Tokyo Prefectures, Honshu. Tsunami wave heights in centimeters (peak-to-trough) were recorded at the following tide stations: 10 at Hana-saki, Japan; 4 at Adak and 32 on Shemya Island, Alaska; 33 at Arena Cove, 37 at Crescent City and 20 at Port San Luis, California; 12 at Hilo, 14 at Kahului and 9 at Nawiliwili, Hawaii; 27 at Port Orford, Oregon; 18 on Midway Island; 9 on Wake Island.
JAN 21	07 38 57.0&	39.592 N	42.863 E	3	5.2		262 EASTERN TURKEY. <ISK>. MW 5.2 (GCMT). mb 5.1 (GS). ML 5.0 (ISK). Mo $6.7 \times 10^{**} 16$ Nm (GCMT). Two people slightly injured. Some old houses slightly damaged in at least seven villages in Agri. Felt in the Agri area.
JAN 21	11 27 45.0	1.065 N	126.282 E	22 G	7.5	1.2	570 MOLUCCA SEA. MW 7.5 (GCMT), 7.3 (GS), 7.4 (OBN). mb 6.7 (GS). MS 7.3 (GS). ME 7.5 (GS). Mo $2.0 \times 10^{**} 20$ Nm (GCMT), $1.1 \times 10^{**} 20$ Nm (GS), $3.7 \times 10^{**} 20$ Nm (PPT), $1.5 \times 10^{**} 20$ Nm (OBN). Es $4.1 \times 10^{**} 15$ Nm (GS). One person died of a heart attack, 3 others killed, 4 others injured and minor damage to some buildings at Manado, Sulawesi, Indonesia. Felt (VI) on Ternate and (IV) in southern Halmahera. Also felt (VI) at Bitung and Tondano, (V) at Kotamobagu and (IV) at Gorontalo, Sulawesi.
JAN 30	04 54 50.5	54.740 S	146.298 E	11 G	6.9	1.4	388 WEST OF MACQUARIE ISLAND. MW 6.9 (GCMT), 6.8 (GS). mb 6.2 (GS). MS 6.9 (GS). ME 7.5 (GS). Mo $2.4 \times 10^{**} 19$ Nm (GCMT), $2.0 \times 10^{**} 19$ Nm (GS), $2.5 \times 10^{**} 19$ Nm (PPT). Es $4.4 \times 10^{**} 15$ Nm (GS).
JAN 30	21 37 44.3	20.980 N	144.705 E	20 G	6.6	0.9	418 MAUG ISLANDS REG., NORTHERN MARIANA ISL. MW 6.6 (GCMT), 6.5 (GS). mb 6.3 (GS). MS 6.5 (GS). ME 6.9 (GS). Mo $9.2 \times 10^{**} 18$ Nm (GCMT), $7.6 \times 10^{**} 18$ Nm (GS), $1.3 \times 10^{**} 19$ Nm (PPT). Es $4.3 \times 10^{**} 14$ Nm (GS).
JAN 31	03 15 52.2	29.776 S	178.002 W	34 G	6.5	0.9	493 KERMADEC ISLANDS, NEW ZEALAND. MW 6.5 (GCMT), 6.4 (GS). mb 6.1 (GS). MS 6.3 (GS). ME 6.2 (GS). Mo $7.1 \times 10^{**} 18$ Nm (GCMT), $4.4 \times 10^{**} 18$ Nm (GS), $9.2 \times 10^{**} 18$ Nm (PPT). Es $4.0 \times 10^{**} 13$ Nm (GS).
FEB 20	08 04 25.2	1.034 S	126.976 E	12 G	6.7	1.1	253 KEPULAUAN SULA, INDONESIA. MW 6.7 (GCMT), 6.5 (GS). mb 6.2 (GS). MS 6.6 (GS). ME 6.6 (GS). Mo $7.9 \times 10^{**} 18$ Nm (GS), $1.5 \times 10^{**} 19$ Nm (GCMT), $1.6 \times 10^{**} 19$ Nm (PPT). Es $1.8 \times 10^{**} 14$ Nm (GS). Felt (IV) at Labuha and Sanana; (III) on Ternate; (II) on Amboin and at Bitung.
MAR 06	03 49 38.9	0.493 S	100.498 E	19 G	6.4	1.2	306 SOUTHERN SUMATRA, INDONESIA. MW 6.4 (GCMT), 6.3 (GS). mb 5.9 (GS). MS 6.4 (GS). ME 7.0 (GS). Mo $5.4 \times 10^{**} 18$ Nm (GCMT), $3.7 \times 10^{**} 18$ Nm (GS). Es $7.5 \times 10^{**} 14$ Nm (GS). At least 67 people killed, 826 injured and 43,719 houses damaged or destroyed (VIII) in the Bukittinggi-Payakumbuh-Soiok area. Felt (V) at Padang, (IV) at Pekanbaru and (III) at Duri, Jambi and in Kepulauan Riau. Felt at Dumai and Padangsidempuan. Also felt (IV) at Johor Bahru; (III) at Kuala Lumpur, Petaling Jaya, Sekudai, Shah Alam and Subang Jaya; (II) at Klang, Malaysia. Felt at Bandar Baru, Batu Pahat, Bukit Baru, Jenjarum, Kajang, Kampung Sungai Tinggi, Melaka, Parit Raja, Pasir Gudang, Pontian Kecil, Salak and Seremban, Malaysia. Felt (III) in Singapore.
MAR 06	05 49 25.4	0.488 S	100.530 E	11 G	6.3	1.0	392 SOUTHERN SUMATRA, INDONESIA. MW 6.3 (GCMT), 6.1 (GS). mb 5.9

MAR 06 13 05 12.1	2.082 N	76.495 W	43	5.2	1.0	132	(GS). MS 6.3 (GS). ME 6.6 (GS). Mo 3.4×10^{18} Nm (GCMT). 1.8×10^{18} Nm (GS). Es 2.0×10^{14} Nm (GS). Casualties and damage are included with the event at 03:49 UTC. Felt (VI) at Padang, (IV) at Duri, (III) at Pekanbaru and (II) at Medan. Felt at Padangpanjang and Selatpanjang. Also felt (III) at Kuala Lumpur, Petaling Jaya, Shah Alam and Subang Jaya, Malaysia. Felt at Air Keruh, Banting, Batu Pahat, Johor Bahru, Klang, Muar, Port Dickson, Sekudai and Sungai Besar, Malaysia. Felt (III) in Singapore.	
MAR 06 22 32 06.8&	33.490 N	48.930 E	16	4.7		158	COLOMBIA. MW 5.2 (GCMT). mb 5.0 (GS). MS 5.0 (GS). Mo 7.5×10^{18} Nm (GCMT). At least 7 people injured in Cauca and 2 in Sotara. One building destroyed and 7 damaged in Purace; one building destroyed and 17 damaged in Sierra Cauca; six buildings destroyed and 38 damaged in Sotara; one building damaged in Timbio. Felt at Cali and Popayan.	
MAR 06 22 32 06.8&	33.490 N	48.930 E	16	4.7		158	WESTERN IRAN. <TEH>. mb 4.7 (GS). mbLg 4.8 (TEH). Thirty-five people injured and buildings damaged at Dorud.	
MAR 25 00 40 01.6	20.617 S	169.357 E	34 G	7.1	1.0	426	VANUATU. MW 7.1 (GS), 7.1 (GCMT). mb 6.5 (GS). MS 7.0 (GS). ME 6.8 (GS). Mo 6.2×10^{19} Nm (GCMT). 5.5×10^{19} Nm (GS). 8.1×10^{19} Nm (PPT). Es 3.4×10^{14} Nm (GS). A tsunami was generated with maximum recorded wave heights (peak-to-trough) of 16 cm at Port-Vila, Vanuatu and 4 cm at Honiara, Solomon Islands. Felt (III) at Port-Vila. Felt (III) at Mont-Dore, New Caledonia. Also felt at Noumea and Yate, New Caledonia.	
MAR 25 00 41 57.8	37.336 N	136.588 E	8 G	6.7	0.8	493	NEAR THE WEST COAST OF HONSHU, JAPAN. MW 6.7 (GCMT), 6.6 (GS), 6.7 (NIED), 6.7 (OBN). mb 6.1 (GS). MS 6.8 (GS). ME 6.5 (GS). Mo 9.1×10^{18} Nm (GS), 1.3×10^{19} Nm (GCMT), 6.8×10^{19} Nm (PPT), 1.4×10^{19} Nm (NIED), 1.2×10^{19} Nm (OBN). Es 1.1×10^{14} Nm (GS). At least one person killed and 359 injured and more than 13,556 houses destroyed. More than 60 landslides occurred on and near the Noto-hanto. Roads damaged and cracks occurred in the landing field of Noto airport. Train service and water supply were interrupted. A tsunami was generated with maximum observed wave heights (peak-to-trough) of 22 cm at Suzuki Nagahashi, 18 cm at Kanazawa and 6 cm Toyama. Felt (V) at Kanazawa; (III) at Nagoya and Osaka; (II) at Kobe, Kyoto, Tokyo and Yokohama. Recorded (6U JMA) in Ishikawa Prefecture, (3 JMA) in much of central Honshu and (2 JMA) throughout Honshu. Also recorded (1 JMA) in southwestern Hokkaido.	
MAR 25 01 08 19.0	20.754 S	169.354 E	35 G	6.9	1.0	281	VANUATU. MW 6.9 (GCMT). mb 5.9 (GS). MS 7.1 (GS). Mo 2.7×10^{19} Nm (GCMT).	
APR 01 20 39 58.7	8.466 S	157.043 E	24 G	8.1	1.3	439	SOLOMON ISLANDS. MW 8.1 (GCMT), 7.7 (OBN). mb 6.8 (GS). MS 7.9 (GS). ME 7.6 (GS). Mo 1.6×10^{21} Nm (GCMT), 9.1×10^{20} Nm (PPT), 4.5×10^{20} Nm (OBN). Es 5.1×10^{15} Nm (GS). Fifty-two people killed and several villages destroyed by the earthquake and tsunami. About 300 homes, schools and a hospital were destroyed at Sasamunga and about 500 houses were damaged at Gizo. Tsunami damage also occurred on Lefung and Taro. Two people were killed by landslides on Ranongga, where uplift was also observed. Felt (IV) at Honiara. A 3.5-meter tsunami was measured at Unumataina and a 2 meter tsunami was observed at Kelau, Woodlark Island, Papua New Guinea, where 17 houses were destroyed, a church was damaged and the tsunami ran inland up to 1 km. The tsunami also caused damage on Rossel Island and Bougainville. Tsunami wave heights in centimeters (peak-to-trough) were recorded at the following tide stations: 16 at Pago Pago, American Samoa; 22 at Cape Ferguson, Australia; 8 at Suva, Fiji; 16 at Kwajalein, Marshall Islands; 14 in Midway Islands; 102 at Charleston, 76 at Jackson Bay and 66 at New Plymouth, New Zealand; 18 at Manus Island, Papua New Guinea; 14 at Nuku'alofa, Tonga; 14 at Adak, Alaska, USA; 20 at San Diego and 22 at Santa Monica, California, USA; 20 at Kahului, Hawaii, USA; and 24 at Port-Vila, Vanuatu.	
APR 01 20 47 31.3	7.169 S	155.777 E	10 G	6.6	1.2	251	SOLOMON ISLANDS. mb 6.6 (GS).	
APR 01 21 11 33.1	7.306 S	155.741 E	10 G	6.9	1.1	305	SOLOMON ISLANDS. MW 6.9 (GCMT). mb 6.3 (GS). Mo 2.6×10^{19} Nm (GCMT).	
APR 04 11 02 29.6	20.688 S	169.056 E	10 G	6.5	1.5	170	VANUATU. MW 6.5 (GCMT), 6.2 (GS). mb 5.8 (GS). MS 6.2 (GS). Mo 6.2×10^{18} Nm (GCMT), 2.9×10^{18} Nm (GS).	

Significant Earthquakes of the World

A világ jelentős földrengései

APR 15	03 19 30.3	34.807 N	136.239 E	16 D	5.1	0.7	351	WESTERN HONSHU, JAPAN. MW 5.1 (GCMT), 5.0 (NIED). mb 5.4 (GS). MS 4.6 (GS). Mo 6.6×10^{16} Nm (GCMT), 3.9×10^{16} Nm (NIED). At least 12 people injured and 63 buildings damaged in the Mie-Nara-Shiga area. Felt (IV) at Kyoto and (III) at Kobe, Nagoya and Osaka. Felt in much of west-central Honshu and in eastern Shikoku. Recorded (5U JMA) in Mie; (4 JMA) in Nara and Shiga; (3 JMA) in Aichi, Fukui, Gifu, Ishikawa, Kyoto, Nagano, Osaka and Wakayama; (2 JMA) in Hyogo, Shizuoka, Tottori, Toyama and Yamanashi; (1 JMA) in Kanagawa and Okayama Prefectures. Also recorded (1 JMA) in Kagawa, Kochi and Tokushima Prefectures, Shikoku.
APR 21	17 53 46.3	45.243 S	72.648 W	37	6.2	1.0	316	AISEN, CHILE. MW 6.2 (GS), 6.2 (GCMT). mb 6.1 (GS). MS 6.3 (GS). Mo 2.8×10^{18} Nm (GCMT), 2.5×10^{18} Nm (GS), 1.5×10^{18} Nm (PPT). At least 3 people killed and 7 missing due to a 7.6 meter tsunami caused by rockslides falling into a narrow fjord near Puerto Aisen. Felt (VII) at Puerto Aisen and Puerto Chacabuco, (VI) at Coihaique, (V) at Balmaceda and (IV) at Cochrane.
APR 28	07 18 11.3	51.085 N	1.009 E	10 G	4.6	1.1	295	ENGLAND, UNITED KINGDOM. mb 4.6 (GS). ML 5.0 (GRF), 4.9 (CSEM), 4.9 (LDG), 4.7 (STR), 4.3 (BGS). One person injured and some buildings damaged slightly in the Folkestone area. Felt (VI) at Folkestone; (V) at Dover; (IV) at Ashford, Canterbury and Hastings; (III) at Deal; (II) at London and Maidstone. Also felt at Boston, Broadstairs, Lincoln, Milton Keynes, Norwich, Ramsgate, Swindon, Tonbridge and Walsall. Felt at Outreau and Roubaix, France and at Wetteren, Belgium.
MAY 06	21 11 52.5	19.401 S	179.354 W	676 D	6.5	0.9	617	FIJI REGION. MW 6.5 (GCMT), 6.4 (GS). mb 6.0 (GS). Mo 6.1×10^{18} Nm (GCMT), 5.6×10^{18} Nm (GS). Felt at Neiafu, Tonga.
JUN 02	21 34 57.7	23.028 N	101.052 E	5 G	6.1	1.0	400	YUNNAN, CHINA. MW 6.1 (GS), 6.1 (GCMT). mb 5.7 (GS). MS 6.3 (GS). ME 5.8 (GS). Mo 1.6×10^{18} Nm (GCMT), 1.5×10^{18} Nm (GS). Es 1.2×10^{13} Nm (GS). Three people killed, at least 329 injured, rockslides blocked roads and an estimated 310 million U.S. dollars damage was caused in the Ning'er area. Felt (VII) at Simao. Also felt at Yunjinghong.
JUN 13	19 29 40.1	13.554 N	90.618 W	23 G	6.7	1.1	468	OFFSHORE GUATEMALA. MW 6.7 (GCMT), 6.5 (GS). mb 5.9 (GS). MS 6.5 (GS). ME 5.9 (GS). MD 6.5 (SNET). Mo 8.0×10^{18} Nm (GS), 1.2×10^{19} Nm (GCMT), 1.5×10^{19} Nm (PPT). Es 1.5×10^{13} Nm (GS). Some houses damaged in the Guatemala City area. Felt (VI) at Escuintla and San Jose; (V) at Mixco; (IV) at Antigua Guatemala, Palencia, Panajachel, Petapa, Quetzaltenango and Santa Catarina Pinula. Felt at Amatitlan, Chimaltenango, Chiquimulilla, Coban, El Palmar, Fraijanes, Iztapa, Jalapa, Jocotenango, La Esperanza, Mazatenango, Patzun, Retalhuleu, Salcaja, San Antonio Palopo, San Lucas Sacatepequez, Sanarate, Santiago Atitlan, Santiago Sacatepequez, Totonicapan, Villa Canales and Villa Nueva. Landslides occurred at Escuintla. Felt (V) at Antiguo Cuscatlan and Nueva San Salvador; (IV) at San Salvador, Soyapango and Zaragoza, El Salvador. Felt at Acajutla, Ahuachapan, Apopa, Ilopango, La Libertad, Mejicanos, Nuevo Cuscatlan, Olocuilta, Opico, Santa Rosa de Lima, Santo Tomas and Tonacatepeque, El Salvador. Also felt at Arriaga and Tapachula, Mexico; Managua and Masaya, Nicaragua; Tegucigalpa, Honduras.
JUN 24	00 25 18.4*	55.645 S	2.626 W	10 G	6.5	1.5	65	SOUTHERN MID-ATLANTIC RIDGE. MW 6.5 (GCMT), 6.3 (GS). mb 5.7 (GS). MS 6.1 (GS). Mo 6.3×10^{18} Nm (GCMT), 4.0×10^{18} Nm (GS).
JUN 28	02 52 09.6	7.969 S	154.630 E	10 G	6.7	1.1	420	BOUGAINVILLE REGION, PAPUA NEW GUINEA. MW 6.7 (GS), 6.7 (GCMT). mb 6.3 (GS). MS 6.7 (GS). ME 7.0 (GS). Mo 1.6×10^{19} Nm (GS), 1.2×10^{19} Nm (GCMT), 2.3×10^{19} Nm (PPT). Es 6.6×10^{14} Nm (GS).
JUL 16	01 13 22.3	37.535 N	138.446 E	12 G	6.6	1.0	782	NEAR THE WEST COAST OF HONSHU, JAPAN. MW 6.6 (GCMT), 6.5 (GS). mb 6.5 (GS). MS 6.4 (GS). ME 6.4 (GS). Mo 6.3×10^{18} Nm (GS), 1.0×10^{19} Nm (GCMT), 2.3×10^{19} Nm (PPT). Es 9.3×10^{13} Nm (GS). Nine people killed, at least 1,088 injured, 875 houses damaged, roads and bridges damaged and landslides occurred in Nagano, Niigata and Toyama Prefectures. A two-car train derailed on the JR Echigo Line at Kashiwazaki. A minor tsunami was observed on Sadoga-shima. Felt (VI) at Niigata; (IV) at Higashimatsuyama and Ueda; (III) at Daigo, Ichikawa, Tokyo, Yokohama and Yokosuka; (II) at Misawa, Nagoya and Tsukuba. Also felt at Aizuwakamatsu, Akita, Asaka, Atsugi, Chiba, Chino, Fukui, Funabashi, Furukawa, Fussa, Gifu, Hachioji, Hamamatsu, Hamura, Hitachinaka, Inagi, Iwaki, Iwatsuki, Joetsu, Kanazawa, Kariya, Kashiwa, Kawasaki, Kobe, Kodaira, Koriyama, Kyoto, Maebashi, Matsumoto, Miika, Murayama, Nagareyama, Narashino,

Narita, Niitsu, Noshiro, Nyuzen, Osaka, Ryotsu, Ryugasaki, Sagamihara, Sakura, Sendai, Shichigahama, Shimizu, Shimosuwa, Shizuoka, Tachikawa, Takayama, Tatebayashi, Toda, Tomisato, Tsurugi, Tsuruoka, Uji, Urawa, Urayasu, Zushi. Recorded (6U JMA) in Nagano and Niigata; (5L JMA) in Ishikawa; (4 JMA) in Fukushima, Gunma, Ibaraki, Saitama, Tochigi and Yamagata; (3 JMA) in Aichi, Chiba, Gifu, Kanagawa, Miyagi, Shizuoka, Tokyo, Toyama and Yamanashi; (2 JMA) in Akita, Fukui, Hyogo, Iwate, Kyoto, Mie, Nara, Osaka and Shiga; (1 JMA) in Aomori, Tottori and Wakayama Prefectures.

JUL 16	14 17	37.3	36.808 N	134.850 E	350 D	6.8	0.7	664	SEA OF JAPAN. MW 6.8 (GS). 6.8 (GCMT). mb 6.2 (GS). Mo 2.0×10^{12} Nm (GCMT). 1.8×10^{12} Nm (GS). 2.4×10^{12} Nm (PPT). Felt (III) at Misawa, Narita, Tokyo, Yokohama and Yokosuka. Felt at Ayase, Daigo, Hamura, Hanamaki, Haramachi, Hitachinaka, Iwaki, Kamagaya, Kashiwa, Kawaguchi, Kikugawa, Kodaira, Konosu, Makubetsu, Mitaka, Muroran, Nara, Niiza, Obihiro, Ofunato, Osaka, Ryugasaki, Sagamihara, Sayama, Sendai, Tachikawa, Tanashi, Tono, Utsunomiya, Yono, Zama and Zushi. Recorded (4 JMA) in the Obihiro area, (3 JMA) in south-central and eastern Hokkaido, (2 JMA) in much of southern Hokkaido and (1 JMA) in northern Hokkaido. Also recorded (3 JMA) in eastern Honshu, (2 JMA) in much of central and northern Honshu and (1 JMA) in parts of southern Honshu. Also recorded (1 JMA) on Hachijo-jima.
JUL 21	22 44	13.5	38.936 N	70.485 E	10 G	5.2	1.0	364	TAJIKISTAN. MW 5.2 (GCMT). mb 5.6 (GS). MS 5.0 (GS). Mo 7.8×10^{11} Nm (GCMT). Three people killed in the Rasht region and nine killed in a related landslide in the Asht region. Felt at Dushanbe.
JUL 22	23 02	14.7	30.881 N	78.239 E	19	5.1	0.7	179	UTTARANCHAL, INDIA. mb 5.1 (GS). MS 4.3 (GS). Three people injured and buildings damaged at Uttarkashi. Buildings also damaged at Chamoli and Muzaffarnagar; in parts of the Dehra Dun District and in the Yamnotri Valley area. Rockfalls blocked National Highway 94 in the Dharasu-Phulchatti-Yamnotri area. Felt at Almora, Badaun, Bharmaur, Chakrata, Chamba, Chandigarh, Dehra Dun, Didihat, Gopeshwar, Gurgaon, Haridwar, Haryana, Karnaprayag, Kinnaur, Manali, Meerut, Mussoorie, Muzaffarnagar, New Tehri, Pauri, Roorkee, Shimla, Srinagar and in the Lahaul and Spiti District.
JUL 26	05 40	16.1	2.872 N	127.464 E	25 G	6.9	1.3	374	MOLUCCA SEA. MW 6.9 (GS). 6.9 (GCMT). mb 6.4 (GS). MS 6.8 (GS). ME 6.7 (GS). Mo 3.1×10^{12} Nm (GCMT). 2.7×10^{12} Nm (GS). 4.8×10^{12} Nm (PPT). Es 2.2×10^{12} Nm (GS). Several people injured and many houses damaged in North Maluku Province, Indonesia. Felt (V) on Ternate; (IV) at Manado and Tobelo; (III) at Labuha, Indonesia. Also felt at Davao, Philippines.
AUG 01	17 08	51.4	15.595 S	167.680 E	120 G	7.2	1.1	494	VANUATU. MW 7.2 (GS). 7.2 (GCMT). mb 6.2 (GS). ME 6.5 (GS). Mo 7.2×10^{12} Nm (GCMT). 7.0×10^{12} Nm (GS). 9.1×10^{12} Nm (PPT). Es 1.2×10^{13} Nm (GS). Some buildings, roads and a bridge damaged (VII) at Luganville. Power outages also occurred at Luganville. Felt at Port-Olry.
AUG 02	02 37	42.3	47.116 N	141.798 E	5 G	6.2	1.1	429	TATAR STRAIT, RUSSIA. MW 6.2 (GS). 6.2 (GCMT). mb 5.3 (GS). MS 6.2 (GS). Mo 2.2×10^{12} Nm (GS). 2.2×10^{12} Nm (GCMT). 6.1×10^{12} Nm (PPT). At least 2 people killed, 12 injured, 11 buildings destroyed and 20 buildings damaged at Nevel'sk. Felt (III) at Yuzhno-Sakhalinsk. Felt at Dolinsk. Tsunami with recorded wave heights (peak-to-trough) of 30 cm at Wakkani and 20 cm at Rumoi, Hokkaido. Recorded (2 JMA) in northern Hokkaido.
AUG 02	03 21	42.8	51.307 N	179.971 W	21 G	6.7	1.0	725	ANDREANOF ISLANDS, ALEUTIAN IS.. ALASKA. MW 6.7 (GCMT). 6.6 (GS). mb 6.3 (GS). MS 6.6 (GS). ME 6.5 (GS). Mo 8.9×10^{12} Nm (GS). 1.5×10^{13} Nm (GCMT). Es 1.4×10^{13} Nm (GS).
AUG 04	22 21	53.9	46.663 N	141.772 E	9 D	4.9	0.6	203	SAKHALIN, RUSSIA. mb 4.9 (GS). Two people injured at Nevel'sk. Felt at Yuzhno-Sakhalinsk.
AUG 08	17 05	04.9	5.859 S	107.419 E	280 G	7.5	1.1	228	JAVA, INDONESIA. MW 7.5 (GCMT). 7.4 (GS). mb 6.5 (GS). ME 7.3 (GS). Mo 2.5×10^{13} Nm (GCMT). 1.8×10^{13} Nm (GS). 1.7×10^{13} Nm (PPT). Es 1.8×10^{13} Nm (GS). Felt (V) at Serpong; (IV) at Bandung, Bekasi, Bogor, Cicurug, Depok, Jakarta and Sleman; (III) at Citeko, Kebumen, Malang, Pacitan and Tangerang; (II) at Treteres and Blitar. Felt at Baki, Banjar, Banjaran, Bantul, Ciawi, Cibadak, Cilacap, Cilegon, Cimanggis, Ciputat, Cirebon, Dayeuhkolot, Garut, Karangasem, Karawang, Kebumen, Kediri, Kuningan, Lembang, Madiun, Pelabuhanratu, Pondok Aren, Pondokgede, Purwokerto, Salatiga, Semarang, Sewon and Sukabumi.

Significant Earthquakes of the World

A világ jelentős földrengései

AUG 15	23	40	57.8	13.386 S	76.603 W	39 G	8.0	0.9	625	Felt (IV) at Kuta. (III) at Denpasar and (II) at Bali; felt at Klungkung, Bali. Felt (III) at Liwa and Padang; felt at Banda Aceh and Bandar Lampung, Sumatra. Also felt (III) at Kuala Lumpur; felt at Petaling Jaya and Sungai Ara, Malaysia.
AUG 20	22	42	29.1	8.038 N	39.248 W	10 G	6.5	0.9	651	NEAR THE COAST OF CENTRAL PERU. MW 8.0 (GCMT). mb 6.7 (GS), MS 7.9 (GS). ME 7.5 (GS). Mo $1.1 \times 10^{**} 21$ Nm (GCMT), $1.4 \times 10^{**} 21$ Nm (PPT). Es $4.2 \times 10^{**} 15$ Nm (GS). At least 514 people killed, 1,090 injured and more than 39,700 buildings damaged or destroyed. The majority of the casualties and damage occurred in Chincha Alta, Ica and Pisco. Widespread communication and power outages occurred in the area. The Panamerican Highway, the Carretera Central and other main transport routes were heavily damaged due to landslides and cracks. Felt (VIII) at Chincha Alta; (VII) at Ica, Pisco and San Vicente de Canete; (VI) at Lima; (V) at Cusco; (IV) at Arequipa; (III) at Trujillo. Felt at Abancay, Ayacucho, Cajamarca, Chaclayao, Chillca, Chimbote, Chosica, Cocachacra, Huacho, Huanuco, Huaraz, Huarmey, Imperial, La Oroya, Lambayeque, Mala, Nazca, Nuevo Imperial, Pachacamac, Quillabamba, Urubamba and Viru. Felt (III) at Bogota, Colombia and (II) at La Serena, Chile. Also felt at Coquimbo and Iquique, Chile; at Guayaquil and Quito, Ecuador; at La Paz, Bolivia and at Manaus, Brazil. Possible earthquake lights observed at Lima. A tsunami with wave heights, peak-to-trough in centimeters, was recorded at the following selected tide stations: 16 at Antofagasta, 36 at Arica, 23 at Caldera, 28 at Coquimbo, 16 at Iquique, 21 in Archipiélago Juan Fernandez, 18 at San Antonio, 28 at San Felix, 35 at Talcahuano and 17 at Valparaíso, Chile; 27 at Galapagos Islands, Ecuador; 30 at Nuku Hiva Island, French Polynesia; 12 at Hanasaki and 13 at Tosa-Shimizu, Japan; 20 at Acapulco, Mexico; 30 at Chatham Island, 13 at Green Island, 25 at Kaikoura, 17 at Lyttelton, 22 at Summer Head and 26 at Tinaru, New Zealand; 100 at Callao and La Punta, Peru; 13 at Apia, Samoa; 14 at Port-Vila, Vanuatu; 10 at Dutch Harbor, Alaska; 12 at Crescent City, California; 33 at Hilo, 28 at Kahului and 12 at Kawaihae, Hawaii, USA.
AUG 25	04	24	21.9	28.154 N	56.652 E	10 G	5.0	1.2	234	SOUTHERN IRAN. mb 5.0 (GS). mbLg 4.7 (TEH). ML 4.5 (THR). At least 4 people injured in the Haji Abad-Orzuiyeh area. Felt at Tehran.
SEP 02	01	05	18.1	11.610 S	165.762 E	35 G	7.2	1.3	312	SANTA CRUZ ISLANDS. MW 7.2 (GCMT). mb 5.9 (GS). MS 7.3 (GS), ME 6.9 (GS). Mo $8.1 \times 10^{**} 19$ Nm (GCMT), $1.1 \times 10^{**} 20$ Nm (PPT). Es $4.4 \times 10^{**} 14$ Nm (GS).
SEP 09	18	36	37.6	7.783 S	114.338 E	35 G	4.8	1.3	47	BALI SEA. mb 4.8 (GS). At least 13 people injured and buildings damaged (VI) at Situbondo.
SEP 10	01	49	14.2	2.982 N	77.967 W	31 D	6.8	0.9	654	NEAR THE WEST COAST OF COLOMBIA. MW 6.8 (GCMT). mb 6.1 (GS). MS 6.7 (GS). Mo $1.7 \times 10^{**} 19$ Nm (GCMT), $5.2 \times 10^{**} 18$ Nm (PPT). Five people injured in Narino. Thirty-four houses damaged at El Charco, Iscuande, La Tola and Mosquera. Power outages occurred at Iscuande. Liquefaction observed at El Charco. Felt (IV) at Bogota and Cali; (III) at Quito. Also felt at Buenaventura, Dos Quebradas, Ibarra, Ipiales, Jamundi, Mulatos, Olaya Herrera, Pasto, Popayan and Tumaco.
SEP 12	11	10	26.8	4.438 S	101.367 E	34 G	8.4	1.0	411	SOUTHERN SUMATRA, INDONESIA. MW 8.4 (GCMT). mb 6.9 (GS). MS 8.5 (GS), ME 8.0 (GS). Mo $5.1 \times 10^{**} 21$ Nm (GCMT), $7.8 \times 10^{**} 20$ Nm (PPT). Es $2.6 \times 10^{**} 16$ Nm (GS). Twenty-five people killed and at least 161 injured, 56,425 buildings damaged or destroyed and roads damaged in Bengkulu and Sumatera Barat. Power and telephone outages occurred. Felt (VI) at Bengkulu; (V) at Padang; (IV) at Lampung, Palembang, Pekanbaru and Sibolga; (III) at Jambi; (II) at Banten and Serang. Also felt at Medan. Felt (IV) at Duri and (III) at Jakarta, Java. Also felt at Bekasi and Kuningan. Felt (III) at Kuala Lumpur and Petaling Jaya, Malaysia and in Singapore. Also felt at Batang Berjuntai, Batu Pahat, Gelugor, Johor Bahru, Kertih, Kuala Selangor, Muar, Penang, Pontian Kecil, Putrajaya, Sekudai and Subang Jaya, Malaysia and by people in high-rise buildings at Bangkok, Thailand and Male, Maldives. A seiche was observed in Khlong Saensaep in Bangkok, Thailand and sink holes which may have been caused by the earthquake appeared at 3 locations in Ipoh, Malaysia. A tsunami was generated which caused some building damage (included above) in the Serangai area, north of Bengkulu. Tsunami wave heights

A világ jelentős földrengései

Significant Earthquakes of the World

(in cm, peak-to-trough) were recorded at the following tide stations in the Indian Ocean: 24 at Cocos Island, Australia; 9 on Diego Garcia; 227 at Padang, 52 at Cilacap, 42 at Prigi, 30 at Sibolga, 16 at Sabang and 4.5 at Benoa, Indonesia; 8 at Lamu, Kenya; 23 at Hanimadu, 21 at Male and 13 at Gan, Maldives; 114 at Rodrigues, Mauritius; 131 at Salalah and Sur Masirah, Oman; 40 at Point La Rue, Seychelles; 60 at Colombo and at Trincomalee, Sri Lanka; 8 on Phuket, Thailand.

SEP 12	23	49	03.7	2.625	S	100.841	E	35	G	7.9	1.0	446	KEPULAUAN MENTAWAI REGION, INDONESIA. MW 7.9 (GCMT). mb 6.6 (GS). MS 8.1 (GS). ME 7.6 (GS). Mo 7.8×10^{12} Nm (GCMT). 2.0×10^{12} Nm (PPT). Es 6.5×10^{12} Nm (GS). Casualties and damage are included with the event at 11:10 UTC. Felt (VI) at Padang and Painan; (IV) at Pekanbaru, Sibolga and Singkil; (III) at Duri. Felt at Curup, Jakarta and Pondok Aren. Felt (III) at Kuala Lumpur, Malaysia and in Singapore. Also felt at Georgetown, Johor Bahru, Kampong Salak Tinggi, Kuala Selangor, Melaka, Petaling Jaya, Subang Jaya and Sungai Ara, Malaysia.
SEP 13	03	35	28.7	2.130	S	99.627	E	22	G	7.0	1.0	537	KEPULAUAN MENTAWAI REGION, INDONESIA. MW 7.0 (GCMT). mb 6.3 (GS). MS 7.2 (GS). ME 7.1 (GS). Mo 4.4×10^{12} Nm (GCMT). Es 8.9×10^{12} Nm (GS). Casualties and damage are included with the event of September 12 at 11:10 UTC. Felt (III) at Bengkulu and Padang; (II) at Kapahiang and Padangpanjang.
SEP 20	08	31	14.4	1.999	S	100.141	E	30	G	6.7	0.9	503	SOUTHERN SUMATRA, INDONESIA. MW 6.7 (GCMT). mb 6.3 (GS). MS 6.8 (GS). ME 6.3 (GS). Mo 1.3×10^{12} Nm (GCMT). Es 6.6×10^{12} Nm (GS). Felt (V) at Painan; (IV) at Kerinci, Merangin and Padangpanjang; (III) at Kapahiang, Muaro Jambi and Padang; (II) at Bukittinggi. Also felt (III) in Singapore.
SEP 26	12	36	26.8	4.990	S	153.500	E	40	G	6.7	1.1	348	NEW IRELAND REGION, PAPUA NEW GUINEA. MW 6.7 (GS). 6.7 (GCMT). mb 6.2 (GS). MS 6.6 (GS). ME 6.3 (GS). Mo 1.5×10^{12} Nm (GS). 1.5×10^{12} Nm (GCMT). 1.7×10^{12} Nm (PPT). Es 6.9×10^{12} Nm (GS). Felt at Kokopo. Also felt at Gizo, Solomon Islands.
SEP 28	01	35	51.9	21.133	S	169.373	E	10	G	6.5	1.3	503	SOUTHEAST OF THE LOYALTY ISLANDS. MW 6.5 (GS). 6.3 (GCMT). mb 6.1 (GS). MS 6.6 (GS). Mo 6.7×10^{12} Nm (GS). 3.5×10^{12} Nm (GCMT).
SEP 28	13	38	59.5	22.004	N	142.651	E	276		7.4	0.9	556	VOLCANO ISLANDS, JAPAN REGION. MW 7.4 (GS). 7.4 (GCMT). mb 6.7 (GS). Mo 1.8×10^{12} Nm (GCMT). 1.4×10^{12} Nm (GS). 2.0×10^{12} Nm (PPT). Felt (IV) at Chatan and Naha, Okinawa. Felt (III) at Yokosuka; (II) at Tokyo and Yokohama, Honshu.
SEP 30	02	08	30.1	10.454	N	145.718	E	14	G	6.9	1.1	535	SOUTH OF THE MARIANA ISLANDS. MW 6.9 (GS). 6.9 (GCMT). mb 6.4 (GS). MS 7.1 (GS). ME 7.2 (GS). Mo 3.2×10^{12} Nm (GCMT). 2.5×10^{12} Nm (GS). 2.7×10^{12} Nm (PPT). Es 1.3×10^{12} Nm (GS). Felt (IV) at Agana and Barrigada and (III) at Yigo, Guam. Felt at Santa Rita.
SEP 30	05	23	34.0	49.271	S	164.115	E	10	G	7.4	1.2	499	AUCKLAND ISLANDS, NEW ZEALAND REGION. MW 7.4 (GCMT). 6.9 (GS). mb 6.4 (GS). MS 7.4 (GS). ME 7.2 (GS). Mo 3.1×10^{12} Nm (GS). 1.5×10^{12} Nm (GCMT). 2.6×10^{12} Nm (PPT). Es 1.4×10^{12} Nm (GS). Felt (III) at Dunedin and Invercargill on the South Island. Also felt at Christchurch. Felt at Rotorua and Te Puke on the North Island.
SEP 30	09	47	51.9	49.138	S	164.110	E	18	G	6.6	1.3	572	AUCKLAND ISLANDS, NEW ZEALAND REGION. MW 6.6 (GCMT). 6.5 (GS). mb 6.6 (GS). MS 6.7 (GS). ME 6.9 (GS). Mo 9.7×10^{12} Nm (GCMT). 7.6×10^{12} Nm (GS). 2.6×10^{12} Nm (PPT). Es 5.6×10^{12} Nm (GS). Felt (III) at Dunedin, Invercargill and Queenstown on the South Island. Also felt at Alexandra, Balclutha and Gore.
OCT 05	07	17	52.8	25.189	S	179.459	E	509		6.5	1.0	573	SOUTH OF THE FIJI ISLANDS. MW 6.5 (GCMT). 6.4 (GS). mb 6.0 (GS). Mo 6.8×10^{12} Nm (GCMT). 5.2×10^{12} Nm (GS). 3.9×10^{12} Nm (PPT).
OCT 15	12	29	36.0	44.785	S	167.583	E	26	D	6.8	1.2	337	SOUTH ISLAND OF NEW ZEALAND. MW 6.8 (GCMT). 6.7 (GS). mb 6.0 (GS). MS 6.8 (GS). ML 6.7 (WEL). Mo 2.1×10^{12} Nm (GCMT). 1.4×10^{12} Nm (GS). 2.6×10^{12} Nm (PPT). Slight damage in Fiordland. Felt (V) at Invercargill; (IV) at Dunedin, Queenstown and Wanaka; (III) at Christchurch. Felt in much of the South Island and southern part of the North Island.
OCT 16	21	05	43.2	25.775	S	179.530	E	509	D	6.6	0.9	538	SOUTH OF THE FIJI ISLANDS. MW 6.6 (GCMT). 6.5 (GS). mb 6.2 (GS). Mo 9.4×10^{12} Nm (GCMT). 6.7×10^{12} Nm (GS). 6.8×10^{12} Nm (PPT). Felt in the southern part of the North Island. New Zealand.

Significant Earthquakes of the World

A világ jelentős földrengései

OCT 24	21	02	50.4	3.896 S	101.017 E	20 G	6.8	1.2	491	SOUTHERN SUMATRA, INDONESIA. MW 6.8 (GCMT). mb 6.1 (GS). MS 6.9 (GS). ME 6.3 (GS). Mo 2.1×10^{19} Nm (GCMT), 1.5×10^{19} Nm (PPT). Es 6.2×10^{13} Nm (GS). Felt (IV) at Argamakmur, Lais, Muaraaman and Mukomuko; (III) at Kapahiang. Also felt at Bengkulu, Jakarta and in Singapore.
OCT 26	06	50	06.6	35.304 N	76.753 E	10 G	5.3	1.2	228	NORTHWESTERN KASHMIR. mb 5.3 (GS). MS 4.8 (GS). One person killed and landslides injured at least 12 people in Ghanche. Felt in Ladakh.
OCT 31	03	30	17.6	18.896 N	145.363 E	223 D	7.2	1.0	460	PAGAN REGION, NORTHERN MARIANA ISLANDS. MW 7.2 (GS), 7.2 (GCMT). mb 6.2 (GS). Mo 8.4×10^{19} Nm (GCMT), 7.2×10^{19} Nm (GS), 8.1×10^{13} Nm (PPT). Felt (IV) on Tinian and (III) on Saipan. Felt (II) at Yigo. Also felt at Hagatna Heights, Santa Rita and Tamuning, Guam. Recorded (1 JMA) in the Chichijima-retto and in Nagano, Niigata and Shizuoka Prefectures, Honshu.
NOV 06	09	38	05.7	21.181 N	70.724 E	10 A	5.0	1.4	90	GUJARAT, INDIA. mb 5.0 (GS). One person killed, 5 people injured and several buildings collapsed or damaged in the Talala area. Felt throughout the Bhavnagar-Jamnagar-Porbandar-Surendranagar area. Felt as far as Ahmadabad (II) and Navsari.
NOV 07	04	12	38.6	9.721 N	124.647 E	72	5.1	0.8	96	BOHOL, PHILIPPINES. mb 5.1 (GS). One person died at Mabini. Felt (V PIVS) at Jagna and (IV PIVS) at Tagbilaran. Felt (V PIVS) at Hibok-Hibok, Camiguin. Felt (IV PIVS) at Mandaue City and (III PIVS) at Lapu-Lapu City, Cebu. Felt (III PIVS) at Cagayan de Oro and (II PIVS) at Butuan, Dipolog, Manukan and Surigao, Mindanao. Felt (III PIVS) at Maasin, Leyte and at Dumaguete, Negros. Also felt at Sagay and Talisay, Luzon.
NOV 07	07	10	21.9	22.150 N	92.388 E	29 D	5.1	0.8	172	INDIA-BANGLADESH BORDER REGION. mb 5.1 (GS). MS 5.1 (GS). Ten people injured in Chittagong Hill Tracts and minor damage occurred at Bandarban, Chittagong and Rangamati, Bangladesh. Felt at Chattogram, Comilla, Cox's Bazar, Feni, Khagrachari and Teknaf. Also felt at Agartala, Aizawl and Guwahati, India.
NOV 10	01	13	29.3	51.777 S	161.318 E	10 G	6.5	1.3	73	NORTH OF MACQUARIE ISLAND. MW 6.5 (GCMT). mb 5.4 (GS). MS 6.4 (GS). Mo 8.1×10^{18} Nm (GCMT), 1.8×10^{19} Nm (PPT).
NOV 14	15	40	50.5	22.247 S	69.890 W	40 G	7.7	1.1	610	ANTOFAGASTA, CHILE. MW 7.7 (GCMT). mb 6.7 (GS). MS 7.4 (GS). ME 7.4 (GS). Mo 4.7×10^{20} Nm (GCMT), 3.9×10^{20} Nm (PPT). Es 3.0×10^{15} Nm (GS). Two people killed, at least 45 injured and buildings damaged (VIII) at Tocopilla. Twenty people injured and buildings damaged (VII) at Maria Elena. Several thousand homes destroyed or damaged, displacing about 15,000 people in the Maria Elena-Tocopilla area. Buildings damaged (VII) at Antofagasta and Calama. Power and telephone outages occurred at Antofagasta and Iquique. Felt (VIII) at Quillagua; (VII) at Baquedano and Mejillones; (VI) at Alto Hospicio, Arica, Huara, Iquique and Taltal; (V) at Caldera, Chanaral, Copiapo and Tierra Amarilla; (III) at Alto del Carmen, Coquimbo, Freirina, Huasco, La Higuera, La Serena and Vallenar; (II) at Santiago, Valparaíso and Vina del Mar. Felt from Arica to Santiago. Felt (IV) at Arequipa; felt at Lima and in Moquegua and Tacna, Peru. Felt (III) at La Paz; felt at Cochabamba and in other parts of Bolivia. Felt at San Juan, Argentina. Also felt at São Paulo, Brazil. Tsunami wave heights in centimeters (peak-to-trough) were recorded at the following tide stations: 25.5 at Antofagasta, 19.5 at Arica, 9.5 at Caldera and 19.3 at Iquique.
NOV 15	15	05	58.3	22.925 S	70.237 W	26 G	6.8	1.1	285	ANTOFAGASTA, CHILE. MW 6.8 (GCMT), 6.6 (GS). mb 6.1 (GS). MS 6.6 (GS). ME 6.3 (GS). Mo 2.1×10^{19} Nm (GCMT), 1.1×10^{19} Nm (GS), 2.3×10^{19} Nm (PPT). Es 5.5×10^{13} Nm (GS). Felt (V) at Antofagasta; (IV) at Pozo Almonte; (III) at Alto Hospicio, Huara, Iquique, María Elena, Mejillones, Quillagua, Pica, Sierra Gorda and Tocopilla; (II) at Caldera, Copiapo, San Pedro de Atacama and Tierra Amarilla.
NOV 16	03	13	00.1	2.312 S	77.838 W	123 D	6.8	0.9	649	PERU-ECUADOR BORDER REGION. MW 6.8 (GCMT), 6.7 (GS). mb 6.3 (GS). MD 6.7 (QUI). Mo 1.7×10^{19} Nm (GCMT), 1.6×10^{19} Nm (GS), 1.1×10^{19} Nm (PPT). Minor damage at Guayaquil, Ecuador. Felt (IV) at Cuenca, Guayaquil, Loja, Macas, Manta and Puyo; (III) at Quito, Ecuador. Felt (IV) at Santa María de Nieva, Peru. Felt at Ambato, Bahía de Caráquez, Gualaceo, Jaramillo, La Libertad, Latacunga, Machala, Milagro, Morona, Portoviejo, Riobamba, Samborondón and Tena, Ecuador. Felt at Iquitos, Jaén, Lima, Moyobamba, Paita, Piura, San Ignacio, Trujillo and Tumbes, Peru. Felt strongly in much of Ecuador and northern Peru.

A világ jelentős földrengései

Significant Earthquakes of the World

NOV 20	05 20	03.4& 31.680 N	49.930 E	7	4.8	186	WESTERN IRAN. <TEH>. mb 4.8 (GS). mbLg 5.1 (TEH). ML 4.9 (THR). Thirty people slightly injured at Qal' eh-ye Tol and some houses slightly damaged in Khuzestan. Felt at Ahvaz. Also felt at Ash Shuwaykh, Kuwait.	
NOV 22	08 48	27.5 5.757 S	147.098 E	53 G	6.7	1.2	341	EASTERN NEW GUINEA REG. PAPUA NEW GUINEA. MW 6.7 (GS), 6.7 (GCMT). mb 6.0 (GS). Mo 1.6×10^{19} Nm (GCMT), 1.5×10^{19} Nm (GS), 8.0×10^{18} Nm (PPT). One water tower damaged and power knocked out at Lae. Felt (V) at Lae. Also felt at Bulolo, Goroka, Kainantu, Madang and Port Moresby.
NOV 25	16 02	17.9 8.277 S	118.339 E	35 G	6.5	1.0	345	SUMBAWA REGION, INDONESIA. MW 6.5 (GCMT), 6.4 (GS). mb 6.2 (GS). MS 6.3 (GS). Mo 6.0×10^{18} Nm (GCMT), 4.3×10^{18} Nm (GS), 4.6×10^{18} Nm (PPT). Three people killed, hundreds injured and hundreds of houses destroyed (V) in the Bima-Dompu-Raba area. Felt (IV) at Sumbawabesar and (III) at Taliwang. Also felt (IV) at Mataram, Lombok and (III) at Denpasar, Bali and at Labuhanbajo, Flores. Felt at Kuta and Ubud, Bali.
NOV 25	19 53	07.9 8.225 S	118.453 E	35 G	6.5	1.2	272	SUMBAWA REGION, INDONESIA. MW 6.5 (GCMT), 6.4 (GS). mb 6.2 (GS). MS 6.2 (GS). Mo 6.2×10^{18} Nm (GCMT), 4.6×10^{18} Nm (GS), 3.7×10^{18} Nm (PPT). Felt (V) at Bima and Dompu and (IV) at Sumbawabesar, Sumbawa. Also felt (IV) at Mataram, Lombok, (III) at Denpasar, Kuta and Ubud, Bali, and at Lubuhanbajo, Flores.
NOV 27	11 49	58.0 10.950 S	162.149 E	16 G	6.6	1.1	280	SOLOMON ISLANDS. MW 6.6 (GCMT), 6.4 (GS). mb 5.9 (GS). MS 6.7 (GS). ME 5.8 (GS). Mo 8.8×10^{18} Nm (GCMT), 5.3×10^{18} Nm (GS), 9.8×10^{18} Nm (PPT). Es 1.2×10^{13} Nm (GS). Felt at Honiara.
NOV 29	19 00	19.6 14.973 N	61.263 W	148 D	7.4	0.7	662	MARTINIQUE REGION, WINDWARD ISLANDS. MW 7.4 (GS), 7.4 (GCMT), 7.7 (CAR). mb 6.9 (GS). Mo 1.5×10^{20} Nm (GS), 1.5×10^{20} Nm (GCMT), 2.3×10^{20} Nm (PPT). One person killed, at least 100 injured, several buildings damaged or destroyed and power outages occurred on Martinique. Two people injured and several buildings destroyed on Barbados. Minor damage occurred on Saint Lucia and Saint Vincent. Power outages occurred on Guadeloupe. Felt (VII) at Fort-de-France and (VI) at Le Lamentin, Martinique. Felt (VII) at Cap Estate, Castries and Soufriere; (VI) at Choc and Gros Islet, Saint Lucia. Also felt (VI) at Bolans, Antigua. Felt (V) on Barbados, Grenada, Guadeloupe, Saint Kitts, Saint Vincent and Trinidad. Felt (IV) at Guayabo, Humacao, Mayaguez, Rio Grande, San Juan and Trujillo Alto; (III) at Bayamon, Catano, Cidra and Juncos, Puerto Rico. Also felt (IV) on Anguilla, Bequia, Dominica, Nevis, Saint Martin, Tobago and Tortola; (III) on Saba, Saint Croix, Saint John, Saint Thomas, Sint Eustatius and at Savanna-la-Mar, Jamaica; (II) at Santo Domingo, Dominican Republic. Felt (V) at Georgetown and Linden, Guyana; (IV) at Lelydorp and (III) at Paramaribo, Suriname; (IV) at Kourou, French Guiana. Felt (IV) at Ciudad Bolivar, Ciudad Guayana and Maturin; (II) at Caracas and Puerto La Cruz, Venezuela. Felt at Armenia and Bogota, Colombia; at Macouria, Montjoly and Remire, French Guiana; at Overwacht, Suriname. Also felt throughout northern Guyana and Venezuela and as far south as Boa Vista, Brazil.
DEC 09	02 03	29.5 15.033 S	44.245 W	10 G	4.9	0.9	93	MINAS GERAIS, BRAZIL. mb 4.9 (GS). One person killed, six injured, 76 buildings damaged and 380 people displaced in the Itacarambi-Januaria-Manga area.
DEC 09	07 28	19.6 26.057 S	177.518 W	143	7.8	1.3	350	SOUTH OF THE FIJI ISLANDS. MW 7.8 (GCMT), 7.7 (GS). mb 7.0 (GS). Mo 6.4×10^{20} Nm (GCMT), 4.2×10^{20} Nm (GS), 1.5×10^{20} Nm (PPT). Felt (IV) at Nuku'alofa, and felt at Mu'a, Neiafu, Pangai and Vaini, Tonga. Felt at Alofi, Niue. Also felt throughout the North Island of New Zealand and specifically at Lower Hutt, Napier, Wellington and Whakatane.
DEC 15	18 22	28.8 32.668 S	71.587 W	37	5.9	1.0	213	OFFSHORE VALPARAISO, CHILE. MW 5.9 (GS), 5.9 (GCMT). mb 5.5 (GS). MS 6.0 (GS). ML 6.0 (GUC). Mo 9.2×10^{17} Nm (GCMT), 7.6×10^{17} Nm (GS). Four people were injured at Vina del Mar and several buildings were damaged at Con Con and Valparaiso. Felt (VI) at Puchuncavi; (V) at San Felipe, Valparaiso and Vina del Mar; (IV) at La Ligua, Los Andes, Papudo, Petorca, San Antonio and Santiago; (III) at Illapel and Rancagua; (II) at San Fernando. Felt at Buin, Colina, Limache, Paine, Penaflor, Puente Alto and Quilpe.
DEC 16	08 09	17.7 22.915 S	70.072 W	45 G	6.7	1.0	273	ANTOFAGASTA, CHILE. MW 6.7 (GS), 6.7 (GCMT). mb 6.1 (GS). MS 6.4 (GS). ME 6.4 (GS). Mo 1.3×10^{19} Nm (GCMT), 1.2×10^{19} Nm (GS), 1.3×10^{19} Nm (PPT). Es 7.7×10^{13} Nm (GS). Felt (VI) at

DEC 19 09 30 27.1 51.367 N 179.549 W 29 D 7.1 1.0 405	ANDREANOF ISLANDS, ALEUTIAN IS., ALASKA. MW 7.1 (GCMT), 7.0 (GS). mb 6.4 (GS). MS 7.1 (GS). ME 6.6 (GS). Mo 6.3×10^{19} Nm (GCMT), 3.8×10^{19} Nm (GS). 7.7 $\times 10^{19}$ Nm (PPT). Es 1.7×10^{14} Nm (GS).
DEC 20 07 55 16.9& 38.860 S 178.520 E 36 6.6	326 OFF EAST COAST OF THE NORTH ISLAND, N.Z. <WEL>. MW 6.6 (GCMT), 6.5 (GS), 6.6 (GS). ME 6.5 (GS). Mo 9.1×10^{18} Nm (GCMT), 6.0×10^{18} Nm (GS), 8.6×10^{18} Nm (PPT). Es 1.2×10^{14} Nm (GS). One casualty due to heart attack. Three buildings collapsed, and others heavily damaged at Gisborne. Power lines were down in some areas, and damage to one of Gisborne's main roads. Felt (VII) at Gisborne; (IV) at Hastings, Napier, Tauranga and Whakatane; (III) at Kapiti, Lower Hutt, New Plymouth, Palmerston North, Rotorua, Taupo, Te Puke, Upper Hutt and Wellington; (II) at Christchurch, Nelson and North Shore. Also felt at Auckland, Blenheim, Dannevirke, Levin, Marton, Opotiki, Otake, Porirua, Waipukurau and Wanganui.

Compiled by Pamela J. Benfield and NEIC Operations Staff.

SZEIZMIKUS ZÓNATÉRKÉP

az MSZ EN 1998-1 (EUROCODE 8)

Magyar Nemzeti Melléklethez

MAP OF SEISMIC ZONES

for EUROCODE 8 (MSZ EN 1998-1)

Hungarian National Annex

Horizontális gyorsulás értékek 50 évre,
10% meghaladási valószínűség mellett
(1/475 év gyakoriság) az alapkőzeten, **g** egységeben

Peak Ground Acceleration in **g**
10% probability of exceedance in 50 years
(1/475 year return period) on bedrock

Településenként lekérdezhető: www.foldrenges.hu

